

Міністерство освіти і науки України
Харківський національний університет радіоелектроніки

Центр ННЦЗФН
(повна назва)

Кафедра Штучного інтелекту
(повна назва)

КВАЛІФІКАЦІЙНА РОБОТА
Пояснювальна записка

рівень вищої освіти перший (бакалаврський)

Smart Military Drone-Courier із використанням AI-навігації
(тема)

Виконав:
здобувач четвертого року навчання,
групи ІТШЗ-21-1
Артем Колодій
(власне ім'я, прізвище)

Спеціальність 122 Комп'ютерні науки
(код і повна назва спеціальності)

Тип програми освітньо-професійна
Освітня програма Штучний інтелект
(повна назва освітньої програми)

Керівник ас. Марія Погурська
(посада, власне ім'я, прізвище)

Допускається до захисту

Завідувач кафедри ШІ _____
(підпис)

Олег ЗОЛОТУХІН
(власне ім'я, прізвище)

2025 р.

Харківський національний університет радіоелектроніки

Центр _____ ННЦЗФН _____

Кафедра _____ Штучного інтелекту _____

Рівень вищої освіти _____ перший (бакалаврський) _____

Спеціальність _____ 122 Комп'ютерні науки _____
(код і повна назва)

Тип програми _____ освітньо-професійна _____

Освітня програма _____ Штучний інтелект _____
(повна назва)

ЗАТВЕРДЖУЮ:

Зав. кафедри _____

(підпис)

«_____» _____ 20__ р.

ЗАВДАННЯ
НА КВАЛІФІКАЦІЙНУ РОБОТУ

здобувачеві _____ Колодію Артему Андрійовичу _____
(прізвище, ім'я, по батькові)

1. Тема роботи _____ Smart Military Robot-Courier з використанням AI-навігації _____

затверджена наказом університету від 7 травня 2025 р. № 80Стз

2. Термін подання студентом роботи до екзаменаційної комісії 24 червня 2025 р.

3. Вихідні дані до роботи Технічні вимоги до логістичного забезпечення підрозділів у бойових умовах, а також специфікації щодо безпеки, автономності та інтеграції з існуючими військовими інформаційними системами. Додатково враховуються обмеження щодо енергоспоживання, захищеності каналів зв'язку та необхідність роботи в умовах відсутності стабільного GPS. В якості вихідних даних використовуються типові сценарії доставки вантажів, дані про маршрути, характеристики дронів і вимоги до багаторівневої автентифікації персоналу.

4. Перелік питань, що потрібно опрацювати в роботі _____

1) Аналіз предметної галузі

2) Теоретичні основи систем автономної навігації та управління

3) Проектування інтерфейсу системи Smart Military Robot-Courier

4) Програмна реалізація вебверсії застосунку Smart Military Robot-Courier

КАЛЕНДАРНИЙ ПЛАН

| № | Назва етапів роботи | Строк / терміни виконання етапів роботи | Примітка |
|----|---|---|----------|
| 1 | Отримання завдання на кваліфікаційну роботу | 05.05.2025 | виконано |
| 2. | Аналіз предметної галузі, постановка задачі та формування вимог до системи | 07.05.2025 | виконано |
| 3. | Огляд сучасних рішень, аналіз літературних джерел та вибір оптимальних технологій для реалізації системи. | 13.05.2025 | виконано |
| 4. | Розробка архітектури програмного забезпечення та проектування основних модулів системи. | 18.05.2025 | виконано |
| 5. | Інтеграція та тестування основних функціональних модулів | 21.05.2025 | виконано |
| 6. | Проведення автоматизованого тестування, аналіз результатів, виявлення та усунення помилок | 22.05.2025 | виконано |
| 7. | Створення звіту з кваліфікаційної роботи | 23.05.2025 | виконано |
| 8. | Захист | 24.06.2025 | виконано |
| | | | |
| | | | |
| | | | |
| | | | |
| | | | |
| | | | |
| | | | |

Дата видачі завдання 5 травня 2025 р.

Здобувач _____
(підпис)

Керівник роботи _____
(підпис)

ас. Марія Погурська _____
(посада, власне ім'я, прізвище)

РЕФЕРАТ

Пояснювальна записка: 88 с., 22 рис., 4 табл., 2 дод., 15 джерел.

АВТОНОМНА НАВИГАЦІЯ, ВІЙСЬКОВА ЛОГІСТИКА, ВІЙСЬКОВІ УМОВИ, ІНФОРМАЦІЙНА ГРАФІКА, КОРИСТУВАЦЬКИЙ ІНТЕРФЕЙС, НАЗЕМНИЙ РОБОТ-КУР'ЄР, ШТУЧНИЙ ІНТЕЛЕКТ, UX/UI ДИЗАЙН.

Об'єкт дослідження – процес автоматизованої доставки вантажів в умовах військових дій за допомогою автономних наземних роботів.

Предмет дослідження – інтерфейс системи управління Smart Military Robot-Courier з використанням AI-навігації, що дозволяє оператору ефективно здійснювати моніторинг та контроль роботів-кур'єрів у військових умовах.

Мета роботи – розробка та апробація інтуїтивно зрозумілого, адаптованого до військових умов інтерфейсу користувача для системи Smart Military Robot-Courier, що забезпечує комплексне відображення інформації, ефективне управління місіями та інтеграцію з AI-навігацією.

Методи дослідження – аналіз наукової літератури в галузі UX/UI дизайну для військових застосунків, вивчення сучасних підходів до проектування інтерфейсів систем управління, дослідження принципів інформаційної графіки, методів відображення геопросторової інформації та людино-машинної взаємодії у стресових умовах

ABSTRACT

Bachelor's thesis contains: 88 pp., 22 fig., 4 tabl., 2 ann., 15 references.

ARTIFICIAL INTELLIGENCE, AUTONOMOUS NAVIGATION, GROUND ROBOT COURIER, INFORMATION GRAPHICS, MILITARY CONDITIONS, MILITARY LOGISTICS, USER INTERFACE, UX/UI DESIGN.

The object of research is the process of automated cargo delivery in the conditions of military operations using autonomous ground robots.

The subject of the study is the interface of the Smart Military Robot-Courier control system using AI navigation, which allows the operator to effectively monitor and control robot couriers in military conditions.

The purpose of the study is to develop and test an intuitive user interface adapted to military conditions for the Smart Military Robot-Courier system, which provides a comprehensive display of information, effective mission management and integration with AI navigation.

Research methods – analysis of scientific literature in the field of UX/UI design for military applications, study of modern approaches to designing control system interfaces, research of the principles of information graphics, methods of displaying geospatial information and human-machine interaction under stressful conditions

ЗМІСТ

| | |
|---|----|
| Перелік умовних позначень, символів, одиниць, скорочень і термінів | 8 |
| Вступ..... | 9 |
| 1 Аналіз предметної галузі | 11 |
| 1.1 Огляд системи автономної доставки вантажів у військових умовах | 11 |
| 1.2 Аналіз інтерфейсів управління та інформаційної графіки у військових системах | 13 |
| 1.3 Особливості проектування інтерфейсів для військових умов та постановка задачі | 16 |
| 2 Теоретичні основи систем автономної навігації та управління | 19 |
| 2.1 Теоретичні основи автономної навігації: моделі середовища та системи координат | 19 |
| 2.2 Сенсорні системи та багатосенсорна фузія | 21 |
| 2.3 Алгоритми планування маршруту та локалізації | 23 |
| 2.3.1 Алгоритми планування маршруту | 23 |
| 2.3.2 Алгоритми локалізації та картографування..... | 25 |
| 2.3.3 Оптимізація траєкторії руху | 26 |
| 2.4 Сучасні тенденції, fault-tolerant підходи та інтеграція ШІ в системах автономної навігації БПЛА | 27 |
| 2.5 Система оновлення даних у реальному часі | 29 |
| 2.6 Використання елементів штучного інтелекту в системі..... | 31 |
| 3 Проектування інтерфейсу системи Smart Military Robot-Courier | 33 |
| 3.1 Розробка структури та макетів екранів інтерфейсу..... | 33 |
| 3.2 Проектування елементів керування та взаємодії з користувачем..... | 37 |
| 4 Програмна реалізація веб-версії застосунку Smart Military Robot-Courier..... | 40 |
| 4.1 Загальна структура та архітектура веб-додатку Smart Military Drone-Courier..... | 40 |
| 4.2 Робота з інтерактивною картою для відображення місій та дронів .. | 42 |

| | |
|--|----|
| 4.3 Модуль моніторингу технічного стану дронів | 46 |
| 4.4 Модуль управління місіями дронів-кур'єрів..... | 48 |
| 4.5 Модуль користувацького інтерфейсу та навігації | 50 |
| 4.6 Система безпеки та багаторівнева автентифікація..... | 54 |
| 4.7 Технічна реалізація системи оновлення даних у реальному часі | 64 |
| 4.8 Технічна реалізація елементів штучного інтелекту в системі | 66 |
| Висновки | 74 |
| Перелік джерел посилання | 76 |
| Додаток А Лістинг програми | 78 |
| Додаток Б Відомість кваліфікаційної роботи..... | 88 |

ПЕРЕЛІК УМОВНИХ ПОЗНАЧЕНЬ, СИМВОЛІВ, ОДИНИЦЬ, СКОРОЧЕНЬ І ТЕРМІНІВ

БПЛА – безпілотні летальні апарати;

НРК – наземні роботизовані комплекси;

РЕБ – радіо електронна боротьба;

AI – Artificial Intelligence – штучний інтелект;

FPV – First Person View – вид від першої особи;

GPS – Global Positioning System – система глобального позиціювання;

NFC – Near-Field Communication – комунікація ближнього поля.

ВСТУП

У сучасних умовах ведення бойових дій логістичне забезпечення військових підрозділів є одним із ключових факторів успішних операцій. Доставка боєприпасів, медикаментів, продовольства та інших вантажів на передову пов'язана з високими ризиками для особового складу, особливо в умовах активних бойових діях, мінування місцевості та кількістю повітряних атак (FPV-дрони, скиди і т.д.). Ці фактори зумовлюють актуальність розробки автономних систем доставки вантажів, які можуть функціонувати без безпосередньої участі людини у небезпечних зонах.

Smart Military Drone-Courier – розробка, спрямована на створення наземного робота-кур'єра, здатного автономно доставляти вантажі у військових умовах з використанням штучного інтелекту для навігації в режимі реального часу. Такі роботи дозволять суттєво знизити ризики для особового складу при виконанні логістичних задач у зоні бойових дій.

Актуальність розробки системи Smart Military Drone-Courier зумовлена кількома факторами. По-перше, це високий рівень втрат (поранень) особового складу під час доставки вантажів у бойових умовах. По-друге, існує нагальна необхідність швидкого постачання боєприпасів та медикаментів на передову. По-третє, наявні складнощі з доступом до віддалених або оточених підрозділів через заміновані території. Крім того, існуючі наземні роботи мають обмеження щодо автономності та адаптивності до різних типів місцевості.

Метою роботи є розробка та апробація інтуїтивного зрозумілого, адаптованого до військових умов інтерфейсу користувача для системи Smart Military Drone-Courier, що забезпечує комплексне відображення інформації, ефективне управління місіями та інтеграцією з AI-навігацією.

Розвиток технологій штучного інтелекту та комп'ютерного зору дозволяє реалізувати автономну навігацію в умовах відсутності чіткого маркування доріг та в пересіченій місцевості, що критично важливо для

військового застосування. Інтеграція цих технологій з інтуїтивним інтерфейсом користувача створює синергетичний ефект, підвищуючи загальну ефективність системи.

Особливого значення набуває розробка інформаційної графіки, яка дозволяє візуалізувати складні дані, такі як маршрути руху, стан роботів, статус місій, у форматі, що забезпечує швидке сприйняття та прийняття рішень оператором. Поєднання географічної, ієрархічної, табличної та мережевої моделей організації інформації дозволяє створити комплексну систему відображення, що відповідає всім потребам оператора.

У рамках кваліфікаційної роботи було поставлено завдання провести аналіз предметної галузі, дослідити існуючі рішення та підходи до проектування інтерфейсів військових систем управління, визначити ключові вимоги до інтерфейсу системи Smart Military Drone-Courier та розробити концептуальні прототипи основних екранів системи.

1 АНАЛІЗ ПРЕДМЕТНОЇ ГАЛУЗІ

1.1 Огляд системи автономної доставки вантажів у військових умовах

Автономна доставка вантажів у військових умовах є одним із найбільш перспективних напрямків розвитку військової логістики. Сучасні умови ведення бойових дій характеризуються високою динамічністю, інтенсивністю та залученням значних матеріальних ресурсів, що вимагає ефективної системи постачання. Військова логістика стикається з рядом специфічних викликів, серед яких:

- необхідність доставки вантажів у небезпечні зони з високим ризиком для особового складу;
- робота в умовах обмеженої видимості та складної місцевості;
- необхідність протидії засобам РЕБ противника;
- вимоги до високої надійності та автономності систем доставки;
- необхідність швидкого реагування на зміну обстановки.

Традиційно для доставки вантажів у зони бойових дій використовуються транспортні засоби з екіпажем, що створює значні ризики для військовослужбовців. Аналітичні звіти, зокрема [1], [2] провідних дослідницьких центрів, наголошують, що логістичне забезпечення підрозділів у сучасних збройних конфліктах залишається вразливим елементом, особливо через загрози точкових ударів, атак дронів та кібератак. Недоліки логістичної інфраструктури можуть критично впливати на ефективність бойових дій та безпеку особового складу. У зв'язку з цим зростає актуальність розробки та впровадження автономних систем доставки, здатних зменшити залежність від екіпажів та знизити рівень ризику.

На сьогоднішній день можна виділити кілька основних типів автономних систем доставки вантажів, що використовуються або знаходяться на стадії розробки:

а) БПЛА:

- забезпечують швидку доставку невеликих вантажів на відносно значні відстані;
- мають обмеження щодо вантажопідйомності, дальності польоту та уразливості до засобів протиповітряної оборони;

б) НРК:

- здатні транспортувати більші вантажі порівняно з БПЛА;
- мають кращу прихованість та стійкість до засобів РЕБ;
- характеризуються нижчою швидкістю та обмеженнями щодо прохідності;

в) комбіновані системи – поєднують використання БПЛА та наземних роботів для оптимізації процесу доставки вантажів в різних умовах.

Наземні роботизовані комплекси, до яких належить Smart Military Drone-Courier, представляють особливий інтерес для використання у військовій логістиці завдяки їх потенційно високій вантажопідйомності, автономності та адаптивності до різних умов експлуатації.

Принципова схема функціонування такої системи представлена на наступній сторінці, рисунок 1.1.

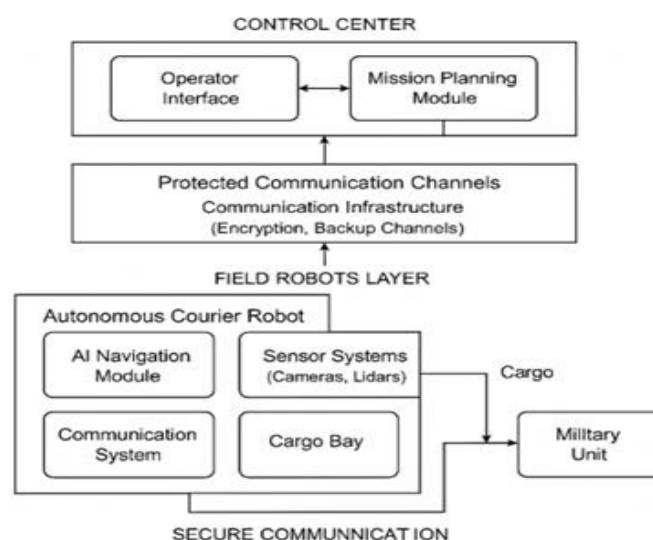


Рисунок 1.1 – Принципова схема функціонування системи Smart Military Drone-Courier

Система складається з кількох ключових компонентів, що взаємодіють між собою. Центр управління є основним вузлом системи, що забезпечує планування місій, контроль виконання завдань та обробку даних. Він включає інтерфейс оператора, модулі планування місій та моніторингу, а також сервер даних. Наземні роботи-кур'єри є автономними транспортними засобами, що здійснюють фізичну доставку вантажів. Кожен робот оснащений модулем AI-навігації, системами сенсорів, системою зв'язку та вантажним відсіком. Комунікаційна інфраструктура забезпечує захищений обмін даними між центром управління та роботами. Станції підзарядки та технічного обслуговування забезпечують автономне відновлення енергетичного ресурсу роботів та їх базове обслуговування.

За результатами аналізу існуючих розробок у галузі наземних роботизованих систем доставки вантажів [4], можна виділити кілька ключових напрямків розвитку:

- вдосконалення систем автономної навігації, що дозволяють функціонувати в умовах відсутності або обмеженого доступу до глобальних систем позиціонування;
- розвиток алгоритмів комп'ютерного зору та розпізнавання об'єктів для ефективного виявлення та уникнення перешкод;
- впровадження технологій штучного інтелекту для оптимізації маршрутів та адаптації до змінних умов середовища;
- розробка ергономічних та інтуїтивно зрозумілих інтерфейсів управління, що дозволяють ефективно контролювати роботів навіть у стресових умовах.

1.2 Аналіз інтерфейсів управління та інформаційної графіки у військових системах

Ефективність взаємодії оператора з автономною системою значною мірою залежить від якості інтерфейсу управління. У військових

застосуваннях інтерфейс користувача набуває особливого значення, оскільки від швидкості та точності реагування може залежати успіх операції та безпека особового складу.

Аналіз існуючих інтерфейсів управління автономними системами дозволяє виділити кілька основних типів. Командні інтерфейси базуються на введенні конкретних команд через командний рядок або спеціалізовані пульти управління. Перевагами таких інтерфейсів є висока точність та контроль над системою, недоліками – необхідність спеціальної підготовки операторів та значний час на формулювання команд. Графічні інтерфейси користувача (GUI) забезпечують візуальне представлення стану системи та можливість управління через графічні елементи.

Перевагами є наочність та інтуїтивна зрозумілість, недоліками – потенційна перевантаженість інформацією та складність використання в польових умовах. Тактильні інтерфейси дозволяють взаємодіяти з системою через фізичні елементи управління. Відзначаються високою надійністю та можливістю використання в екстремальних умовах, але обмежені у функціональності. Змішані (гібридні) інтерфейси поєднують елементи різних типів інтерфейсів для досягнення оптимального балансу.

Для військових застосувань найбільш ефективними виявляються змішані інтерфейси, що поєднують графічну візуалізацію інформації з тактильними елементами управління, забезпечуючи швидку та надійну взаємодію оператора з системою навіть у стресових умовах [8].

Ключовими вимогами до інтерфейсів управління автономними системами у військовій сфері є чіткість та інтуїтивна зрозумілість, стійкість до умов підвищеного стресу та обмеженого часу на прийняття рішень, адаптивність до різних умов освітлення та використання в польових умовах, модульність та масштабованість для підтримки різних сценаріїв використання, а також мінімізація когнітивного навантаження на оператора.

Інформаційна графіка відіграє ключову роль у забезпеченні ефективності інтерфейсів військового призначення. Вона дозволяє

візуалізувати складні дані таким чином, щоб оператор міг швидко сприймати та аналізувати ситуацію, приймаючи обґрунтовані рішення в умовах обмеженого часу та підвищеного стресу.

Основними типами інформаційної графіки, що використовуються у військових інтерфейсах, є картографічна візуалізація, індикатори стану, діаграми та графіки, структурні схеми, інформаційні панелі. При розробці інформаційної графіки для військових інтерфейсів особливого значення набувають такі принципи як ієрархія інформації, контраст, групування, мінімалізм та консистентність.

Аналіз сучасних досліджень у галузі інформаційної графіки для військових застосувань [9] дозволяє виділити кілька передових підходів:

- використання кольорового кодування для швидкої ідентифікації пріоритетів та загроз;
- адаптивні інтерфейси, що змінюються залежно від контексту використання та рівня досвіду користувача;
- інтеграція елементів доповненої реальності для покращення ситуаційної обізнаності;
- мультимодальна презентація інформації з використанням візуальних, аудіальних та тактильних каналів;
- предиктивна аналітика для випереджаючого інформування оператора про потенційні проблеми.

Для системи Smart Military Robot-Courier особливо важливим є правильний підбір моделей організації та відображення інформації. На основі аналізу специфіки роботи системи доцільним є використання комбінованої моделі, що поєднує географічну модель для відображення маршрутів руху та розташування роботів на інтерактивній карті операцій, ієрархічну модель для структурування місій та підрозділів, табличну модель для представлення статистичних даних та списків роботів, мережеву модель для візуалізації взаємозв'язків між місіями, роботами та базовими пунктами. Така комбінація дозволяє ефективно представити складні зв'язки між

різними компонентами системи та забезпечити інтуїтивно зрозуміле відображення даних для операторів у військових умовах.

1.3 Особливості проектування інтерфейсів для військових умов та постановка задачі

Військові операції характеризуються високим рівнем стресу, обмеженим часом на прийняття рішень та підвищеними вимогами до точності дій. Ці фактори суттєво впливають на характер взаємодії людини з комп'ютерними системами та визначають специфічні вимоги до інтерфейсів військового призначення.

Дослідження в галузі когнітивної психології та ергономіки [12] демонструють, що в умовах стресу людина зменшує діапазон уваги, концентруючись лише на окремих аспектах ситуації, погіршує здатність до обробки складної інформації та прийняття комплексних рішень, частіше допускає помилки при виконанні точних дій, надає перевагу звичним і автоматизованим діям, має підвищену чутливість до візуальних сигналів, пов'язаних із загрозою. Ці особливості необхідно враховувати при розробці інтерфейсу управління автономними роботами-кур'єрами.

Основними принципами проектування інтерфейсів для використання в стресових умовах є зменшення когнітивного навантаження, використання інтуїтивно зрозумілих метафор та шаблонів взаємодії, забезпечення чіткої ієрархії інформації та функцій, мінімізація кількості дій, необхідних для виконання критичних операцій, впровадження механізмів запобігання та корекції помилок, забезпечення надлишковості критичної інформації через різні канали сприйняття.

Аналіз сучасних досліджень у галузі проектування інтерфейсів для стресових умов [14] дозволяє виділити ряд ефективних стратегій, що можуть бути застосовані при розробці інтерфейсу системи Smart Military Robot-Courier:

- використання спрощених інтерфейсів у кризових ситуаціях з автоматичним приховуванням некритичної інформації;
- впровадження механізмів підтвердження критичних дій для запобігання випадковим помилкам;
- використання кольорового кодування для швидкої ідентифікації рівня загрози;
- застосування тактильного зворотного зв'язку для підтвердження виконання дій;
- розробка адаптивних інтерфейсів, які змінюються залежно від рівня стресу оператора та складності ситуації.

Окремої уваги заслуговує адаптація інтерфейсу до особливостей роботи з захисним спорядженням, яке може обмежувати точність рухів, поле зору та тактильну чутливість оператора. У таких умовах критично важливими стають збільшені елементи управління для зручності використання в рукавицях, висококонтрастні елементи інтерфейсу для кращої видимості, спрощена навігація з мінімальною кількістю рівнів меню, дублювання критичної інформації через різні канали сприйняття.

На основі проведеного аналізу предметної галузі можна сформулювати основні вимоги до інтерфейсу системи Smart Military Robot-Courier. До функціональних вимог відносяться відображення розташування роботів на інтерактивній карті з можливістю масштабування та панорамування, моніторинг технічного стану роботів, управління місіями, візуалізація маршрутів з можливістю їх коригування, відображення небезпечних зон та перешкод, аналітика виконаних місій, ручне керування роботами у разі необхідності.

До вимог юзабіліті відносяться інтуїтивно зрозумілий інтерфейс, що не потребує тривалого навчання, швидкий доступ до критичних функцій, мінімізація когнітивного навантаження на оператора, консистентний дизайн елементів інтерфейсу, адаптивність до різних розмірів екранів та пристроїв.

Технічні вимоги включають функціонування в різних умовах освітлення, підтримку роботи в офлайн-режимі з обмеженим доступом до мережі, стійкість до помилкових дій користувача, низькі вимоги до обчислювальних ресурсів для можливості роботи на мобільних пристроях, можливість інтеграції з існуючими військовими інформаційними системами.

Вимоги до інформаційної графіки передбачають використання комбінованої моделі організації інформації, чітку візуальну ієрархію елементів, кольорове кодування для швидкої ідентифікації статусів та пріоритетів, анімацію для привернення уваги до критичних показників, адаптивність графічних елементів до різних розмірів екрану.

Основним завданням для подальшої розробки є створення прототипу інтерфейсу системи Smart Military Robot-Courier, що відповідає визначеним вимогам та забезпечує ефективну взаємодію оператора з автономними роботами в умовах військових операцій. Розроблюваний інтерфейс повинен включати наступні основні екрани: карта операцій для візуалізації маршрутів та розташування роботів; статус роботів-кур'єрів для моніторингу стану роботів та їх поточних параметрів; активні місії для управління та відстеження прогресу активних місій; моніторинг показників для детального аналізу даних про роботів за допомогою графіків та діаграм. Кожен екран повинен містити набір інтерактивних елементів, оптимізованих для взаємодії за допомогою миші та клавіатури, з урахуванням особливостей експлуатації в польових умовах.

2 ТЕОРЕТИЧНІ ОСНОВИ СИСТЕМ АВТОНОМНОЇ НАВІГАЦІЇ ТА УПРАВЛІННЯ

2.1 Теоретичні основи автономної навігації: моделі середовища та системи координат

Автономна навігація роботизованих систем у військових умовах базується на математичних моделях представлення середовища, які дозволяють ефективно планувати маршрути, локалізувати робота та уникати перешкод. Найпоширенішими підходами є використання графів, окупаційних решіток (occupancy grid) та топологічних карт.

Графова модель передбачає подання простору у вигляді набору вузлів (точок) і ребер (шляхів між ними). Кожен вузол відповідає певній позиції у просторі, а ребра – можливим переміщенням між точками. Для планування маршруту використовуються алгоритми пошуку на графах, такі як A^* та Dijkstra. Наприклад, для дискретизованої карти місцевості будується граф, де кожна клітинка – це вузол, а суміжні клітинки з'єднані ребрами з відповідною вагою (відстань, ризик, енергозатрати).

Окупаційна решітка (occupancy grid) – це двовимірний або тривимірний сітка, де кожна клітинка містить ймовірність зайнятості (наявності перешкоди). Такий підхід широко використовується у SLAM-системах для побудови карти навколишнього середовища на основі даних сенсорів (LiDAR, стереокамери). Окупаційна решітка дозволяє швидко оцінювати прохідність маршруту та адаптувати планування до змін у реальному часі [3].

Топологічна карта – це абстрактне представлення середовища у вигляді графа основних точок (орієнтирів) та зв'язків між ними. Такий підхід зменшує обчислювальні витрати при навігації на великих територіях, але вимагає попередньої побудови карти.

Системи координат та одиниці виміру.

Для точного позиціонування роботів використовуються різні системи координат:

- WGS84 (World Geodetic System 1984) – глобальна геодезична система, що використовується у GPS-навігації. Координати задаються у вигляді широти, довготи та висоти над рівнем моря;
- ECEF (Earth-Centered, Earth-Fixed) – тривимірна декартова система координат з початком у центрі мас Землі. Використовується для точних розрахунків у супутниковій навігації;
- локальна карта – система координат, прив’язана до конкретної області (наприклад, поле бою), де позиції задаються у метрах відносно вибраної точки відліку.

Одиниці виміру, що застосовуються у військовій робототехніці: метри (м) для відстаней, градуси (°) для кутів, секунди (с) для часу, метри на секунду (м/с) для швидкості.

Вибір системи координат залежить від задачі: для глобального планування – WGS84, для локальної навігації та побудови карти – локальна система координат.

Для реалізації інтерфейсу системи автономної навігації використовуються сучасні веб-технології, кожна з яких має свої переваги та обмеження. У таблиці 2.1 наведено порівняння основних технологій, що застосовуються для візуалізації даних у веб-інтерфейсі системи Smart Military Drone-Courier.

Таблиця 2.1 – Порівняння основних технологій у веб інтерфейсі.

| Технологія | Призначення | Переваги | Обмеження |
|------------|-------------------|-------------------------------|---|
| 1 | 2 | 3 | 4 |
| Leaflet.js | Карта операцій | Простота, низький поріг входу | Відсутність 3D, складна кастомізація |
| D3.js | Побудова графіків | Висока гнучкість візуалізації | Потребує більше коду для кожного елемента |

Продовження таблиці 2.1

| 1 | 2 | 3 | 5 |
|------------------|------------------------------------|---------------------------|---------------------------------------|
| SVG-графіка | Рух об'єктів, маршрути, індикатори | Масштабованість, точність | Висока складність реального оновлення |
| Vanilla JS + SPA | Управління станом інтерфейсу | Швидкість, ефективність | Вимоги до продуктивності пристрою |

2.2 Сенсорні системи та багатосенсорна фузія

Для забезпечення надійної автономної навігації безпілотних літальних апаратів у складних умовах застосовується комплекс сенсорних систем, які дозволяють отримувати інформацію про навколишнє середовище, положення та рух апарата. Основними типами сенсорів, що використовуються у військових роботизованих системах, є лідар (LiDAR), стереокамери, інерціальні вимірювальні модулі (IMU) та супутникові навігаційні системи (GPS/INS).

Лідар (LiDAR, Light Detection and Ranging) забезпечує вимірювання відстані до об'єктів шляхом аналізу часу проходження лазерного імпульсу. Відстань визначається за формулою

$$d = \frac{c \cdot t}{2}, \quad (2.1)$$

де d – відстань до перешкоди,

c – швидкість світла, м/с

t – час проходження лазерного імпульсу до об'єкта і назад.

Лідар дозволяє будувати тривимірні карти місцевості з високою точністю, однак є чутливим до погодних умов.

Стереокамери використовують два або більше оптичних сенсори для визначення глибини сцени на основі різниці між зображеннями. Такий

підхід дозволяє розпізнавати об'єкти та оцінювати відстані у реальному часі, але точність залежить від умов освітлення.

Інерціальний вимірювальний модуль (IMU) містить акселерометри та гіроскопи, що забезпечують вимірювання прискорень і кутових швидкостей. IMU дозволяє оцінювати положення та орієнтацію апарата навіть при відсутності сигналу GPS, однак накопичує похибки з часом.

Супутникові навігаційні системи (GPS/INS) забезпечують визначення координат у глобальній системі WGS84. Для підвищення точності часто використовується поєднання GPS із інерціальною системою (INS), що дозволяє компенсувати короточасні втрати сигналу.

Для підвищення надійності та точності навігації застосовуються методи багатосенсорної фузії. Найбільш поширеними є фільтр Калмана та його модифікації, а також частинковий фільтр.

Фільтр Калмана (Kalman Filter) – це рекурсивний алгоритм оцінювання стану динамічної системи на основі шумних вимірювань. Алгоритм складається з двох основних етапів: прогнозу та корекції. На етапі прогнозу обчислюється очікуваний стан системи, а на етапі корекції – стан уточнюється з урахуванням нових вимірювань.

Розширений фільтр Калмана (EKF) використовується для нелінійних систем, а частинковий фільтр (Particle Filter) – для систем із негаусовими шумами.

Сучасні програмні бібліотеки, такі як LIO-SAM (LiDAR-Inertial Odometry via Smoothing and Mapping) та ORB-SLAM3, реалізують багатосенсорну фузію для точного позиціонування та побудови карти у реальному часі [11].

Таблиця 2.2 – Основні сенсорні системи для автономної навігації

| Тип сенсора | Призначення | Переваги | Обмеження |
|-------------|--|--|--|
| LiDAR | Вимірювання відстані, побудова 3D-карт | Висока точність, незалежність від освітлення | Чутливість до погодних умов, висока вартість |

Продовження таблиці 2.2

| Тип сенсора | Призначення | Переваги | Обмеження |
|--------------|---|---|---|
| Стереокамери | Оцінка глибини, розпізнавання об'єктів | Робота у реальному часі, низька вартість | Залежність від освітлення, менша точність |
| IMU | Вимірювання прискорень і кутових швидкостей | Автономність, робота без зовнішніх сигналів | Накопичення похибки з часом |
| GPS/INS | Визначення координат, глобальна навігація | Висока точність на відкритій місцевості | Втрата сигналу у складних умовах |

2.3 Алгоритми планування маршруту та локалізації

Планування маршруту та локалізація є ключовими компонентами системи автономної навігації безпілотних літальних апаратів. Ці алгоритми забезпечують визначення оптимального шляху до цілі та точне позиціонування апарата у просторі.

2.3.1 Алгоритми планування маршруту

Планування маршруту – це процес визначення оптимального шляху від початкової точки до цільової з урахуванням обмежень середовища, характеристик апарата та критеріїв оптимальності. Основними підходами до планування маршрутів є комбінаторні, вибіркові (sampling-based) та біологічно-інспіровані методи. Класифікація основних підходів до планування маршрутів наведена на рисунку 2.1 [5].

Як видно з рисунка 2.1, алгоритми планування маршрутів поділяються на комбінаторні (наприклад, A*, Dijkstra), вибіркові (RRT, PRM) та біологічно-інспіровані (Genetic Algorithm, Ant Colony Optimization). Кожен підхід має свої переваги та сфери застосування, що визначає вибір алгоритму для конкретної зчі автономної навігації.

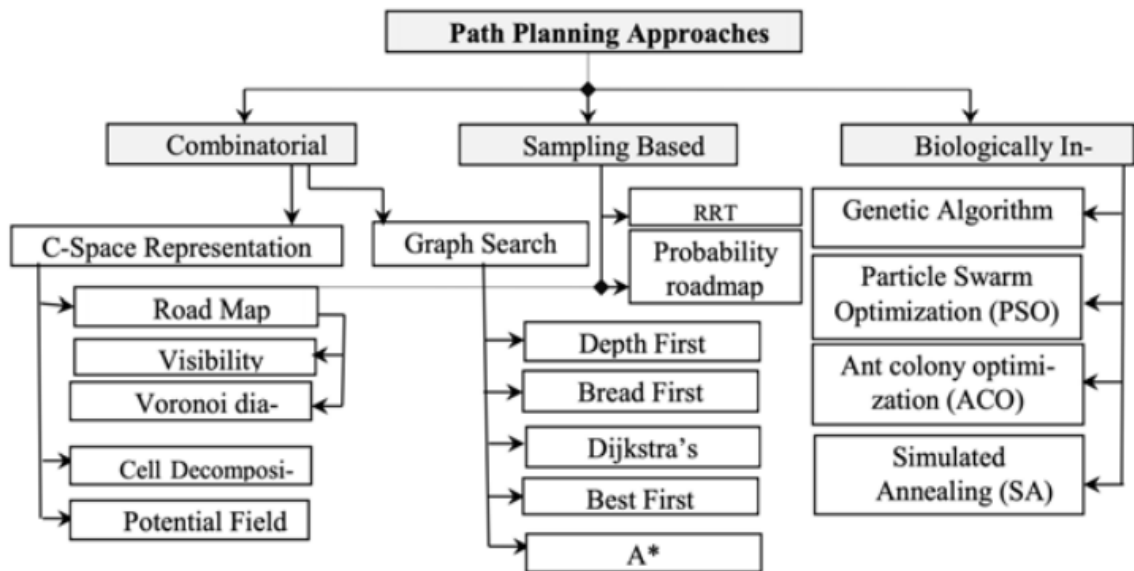


Рисунок 2.1 – Класифікація алгоритмів планування маршрутів за критерієм використаного метода

Алгоритм A^* – інформований алгоритм пошуку, що використовує евристичну функцію для оцінки відстані до цілі. Алгоритм A^* мінімізує функцію вартості

$$f(n) = g(n) + h(n), \quad (2.2)$$

де $g(n)$ – вартість шляху від початкової точки до поточної,

$h(n)$ – евристична оцінка відстані від поточної точки до цілі. Алгоритм A^* гарантує знаходження оптимального шляху за умови, що евристична функція не переоцінює відстань до цілі [2].

Алгоритм RRT (Rapidly-exploring Random Tree) – ймовірнісний алгоритм, що будує дерево випадкових конфігурацій у просторі станів. RRT ефективний для планування у складних багатовимірних просторах, але не гарантує оптимальності шляху. Модифікація RRT* забезпечує асимптотичну оптимальність шляху при збільшенні кількості ітерацій.

Алгоритм D^* – динамічний алгоритм планування, що адаптується до змін у середовищі. D^* ефективний для навігації у невідомому або динамічному середовищі, оскільки дозволяє перепланувати маршрут при виявленні нових перешкод.

2.3.2 Алгоритми локалізації та картографування

Локалізація – це процес визначення положення та орієнтації апарата у просторі. Для точної локалізації використовуються алгоритми, що обробляють дані з різних сенсорів та будують карту навколишнього середовища.

SLAM (Simultaneous Localization and Mapping) – це клас алгоритмів, що одночасно вирішують задачі локалізації та картографування. SLAM дозволяє апарату будувати карту невідомого середовища та визначати своє положення на цій карті. Основні підходи до реалізації SLAM:

- EKF-SLAM – використовує розширений фільтр Калмана для оцінки положення апарата та орієнтирів на карті;
- FastSLAM – поєднує частинковий фільтр для оцінки траєкторії та фільтри Калмана для оцінки положення орієнтирів;
- Graph-SLAM – представляє задачу SLAM у вигляді графа, де вершини відповідають положенням апарата та орієнтирам, а ребра – обмеженням між ними.

Візуальна одометрія – метод оцінки руху апарата на основі аналізу послідовності зображень. Візуальна одометрія використовує алгоритми виявлення та відстеження особливих точок на зображеннях для оцінки відносного переміщення камери.

Порівняння алгоритмів локалізації та картографування наведено в таблиці 2.2.

Таблиця 2.3 – Порівняння алгоритмів локалізації та картографування

| Алгоритм | Принцип роботи | Переваги | Обмеження |
|------------|--------------------------------------|--|--|
| EKF-SLAM | Розширений фільтр Калмана | Простота реалізації, ефективність | Обмежена масштабованість, чутливість до лінеаризації |
| FastSLAM | Частинковий фільтр + фільтри Калмана | Робота з нелінійними моделями, масштабованість | Виродження частинок при тривалій роботі |
| Graph-SLAM | Оптимізація графа | Висока точність, глобальна оптимізація | Висока обчислювальна складність |
| ORB-SLAM | Виявлення особливостей ORB | Робота в реальному часі, точність | Чутливість до умов освітлення |

Як видно з таблиці 2.2, кожен алгоритм має свої переваги та обмеження, тому вибір методу локалізації залежить від конкретних умов експлуатації та вимог до точності.

Для підвищення надійності локалізації у складних умовах застосовуються методи багатосенсорної фузії, що поєднують дані від різних джерел: візуальної одометрії, лідара, IMU та GPS. Наприклад, алгоритм LIO-SAM поєднує дані лідара та IMU для точної локалізації та картографування у реальному часі [3].

2.3.3 Оптимізація траєкторії руху

Після побудови початкового маршруту часто застосовуються алгоритми оптимізації траєкторії для забезпечення плавності руху та мінімізації енергоспоживання. Основними методами оптимізації є:

- сплайн-інтерполяція – побудова гладкої кривої, що проходить через задані точки маршруту;

- оптимізація за критерієм мінімуму ривка – мінімізація третьої похідної положення за часом, що забезпечує плавність руху;
- метод потенційних полів – представлення перешкод як джерел відштовхуючих сил, а цілі – як джерела притягуючої сили.

Оптимізована траєкторія забезпечує більш ефективне використання ресурсів апарата, зменшує ризик зіткнень та підвищує точність навігації.

2.4 Сучасні тенденції, fault-tolerant підходи та інтеграція ШІ в системах автономної навігації БПЛА

Сучасний розвиток систем автономної навігації БПЛА визначається впровадженням багатосенсорної фузії, fault-tolerant архітектур та інтелектуальних алгоритмів обробки даних. Останні дослідження [1–4] показують, що поєднання даних з LiDAR, стереокамер, IMU та GPS/INS дозволяє суттєво підвищити точність і надійність навігації навіть у складних умовах, зокрема при дії засобів РЕБ. У військових системах, на відміну від цивільних, особлива увага приділяється стійкості до відмов, резервуванню каналів зв'язку та автономності виконання місії.

Fault-tolerant підходи реалізуються через дублювання критичних сенсорів, багаторівневу перевірку цілісності даних та автоматичне перемикання на резервні алгоритми у разі відмови основних. Типова структура fault-tolerant системи наведена у таблиці 2.4.

Таблиця 2.4 – Порівняння fault-tolerant підходів у цивільних та військових БПЛА

| Критерій | Цивільні БПЛА | Військові БПЛА |
|-----------------------|-------------------|-------------------------|
| Резервування сенсорів | Мінімальне | Повне/багаторівневе |
| Захист від РЕБ | Відсутній/базовий | Інтегрований |
| Автономність | Часткова | Повна (аварійні режими) |
| Вартість | Оптимізована | Не критична |

Багатосенсорна фузія у сучасних системах ґрунтується на математичних моделях, зокрема розширеному фільтрі Калмана (ЕКФ), який дозволяє інтегрувати дані з різних сенсорів для отримання оптимальної оцінки стану апарата. ЕКФ описується наступними рівняннями:

$$\begin{aligned}
 \hat{x}_{k|k-1} &= F_k \hat{x}_{k-1|k-1} + B_k u_k \\
 P_{k|k-1} &= F_k P_{k-1|k-1} F_k^T + Q_k \\
 K_k &= P_{k|k-1} H_k^T (H_k P_{k|k-1} H_k^T + R_k)^{-1} \\
 \hat{x}_{k|k} &= \hat{x}_{k|k-1} + K_k (z_k - H_k \hat{x}_{k|k-1}) \\
 P_{k|k} &= (I - K_k H_k) P_{k|k-1}
 \end{aligned} \tag{2.3}$$

де \hat{x} – оцінка стану;

P – коваріація;

F – матриця переходу;

Q – коваріація процесу;

K – коефіцієнт Калмана;

H – матриця спостереження;

R – коваріація вимірювань;

z – вимірювання.

Для складних, нелінійних і негаусових систем застосовуються частинкові фільтри (Particle Filter) [5].

Інтеграція штучного інтелекту (ШІ) та машинного навчання у системи управління БПЛА дозволяє реалізувати адаптивну обробку сенсорних даних, розпізнавання об'єктів, виявлення аномалій та оптимізацію траєкторій у реальному часі [6], [7]. Зокрема, convolutional neural networks (CNN) використовуються для аналізу зображень, а reinforcement learning – для навчання оптимальним стратегіям руху у динамічному середовищі.

Використання сучасних технологій, таких як Leaflet.js, D3.js, SVG-графіка, Vanilla JS + SPA (див. архівований файл), забезпечує гнучку візуалізацію даних, інтерактивність та ефективне управління станом інтерфейсу системи Smart Military Drone-Courier. У військових застосуваннях ці технології доповнюються спеціалізованими модулями для захисту даних, резервування каналів зв'язку та автономного виконання завдань.

Порівняльний аналіз показує, що у цивільних БПЛА основна увага приділяється зниженню вартості та спрощенню архітектури, тоді як у військових – максимальній надійності, стійкості до відмов і захисту від зовнішніх впливів [3], [4]. Це визначає вибір алгоритмів, апаратних рішень та програмних технологій.

Поглибити математичне моделювання багатосенсорної фузії з урахуванням сучасних підходів (наприклад, Bayesian Deep Learning), дослідити fault-tolerant архітектури з децентралізованим управлінням, розширити застосування ШІ для адаптивної обробки даних у реальному часі, а також провести порівняльні випробування різних підходів у реальних бойових умовах.

2.5 Система оновлення даних у реальному часі

У військових умовах затримка або втрата даних може призвести до критичних наслідків, тому система Smart Military Drone-Courier спроектована так, щоб забезпечувати передачу й обробку інформації у реальному часі. Це дозволяє оперативно відстежувати стан дронів, виконання місій, технічні показники та швидко реагувати на нештатні ситуації.

Архітектура системи побудована так, щоб дані від дронів надходили на сервер через MQTT брокер, далі оброблялися, зберігалися у базі даних і трансливалися клієнтам через WebSocket. Клієнтський інтерфейс отримує

оновлення практично миттєво, що дозволяє оператору бачити актуальну картину на інтерактивній карті, а також у вигляді графіків і карток метрик. На рисунку 2.2 представлена схема потоку даних, а на рисунку 2.3 – загальна архітектура системи.

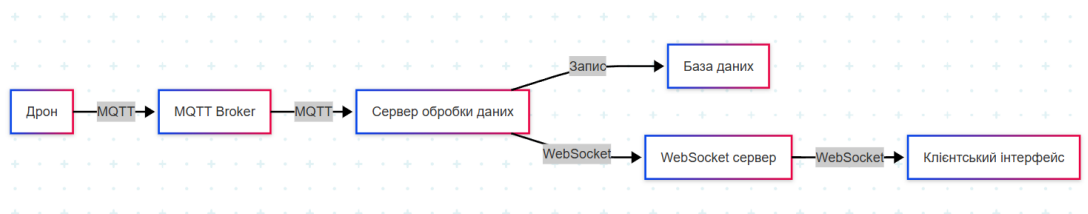


Рисунок 2.2 – Схема потоку даних у системі

У коді це реалізовано за допомогою таких технологій: MQTT використовується для передачі телеметрії від дронів, серверна частина побудована на Node.js з Express, для обробки та ретрансляції даних застосовується Socket.IO (WebSocket). Клієнтський інтерфейс написаний на React, для карти використовується Leaflet, а для графіків – Recharts. Основні компоненти, які відповідають за роботу в реальному часі: AnimatedOperationsMap (відображає дрони та маршрути на карті), RobotMetricsDashboard (показує технічні метрики дрона), RealTimeDataService (підключення до WebSocket і розподіл оновлень між компонентами). Серверна логіка приймає MQTT-повідомлення, зберігає їх у базі даних і транслює через WebSocket.

Завдяки такій архітектурі система забезпечує мінімальну затримку оновлення даних, відмовостійкість і можливість масштабування під більшу кількість дронів та операторів. Це дозволяє оперативно реагувати на критичні події, наприклад, зниження заряду батареї чи відхилення від маршруту.

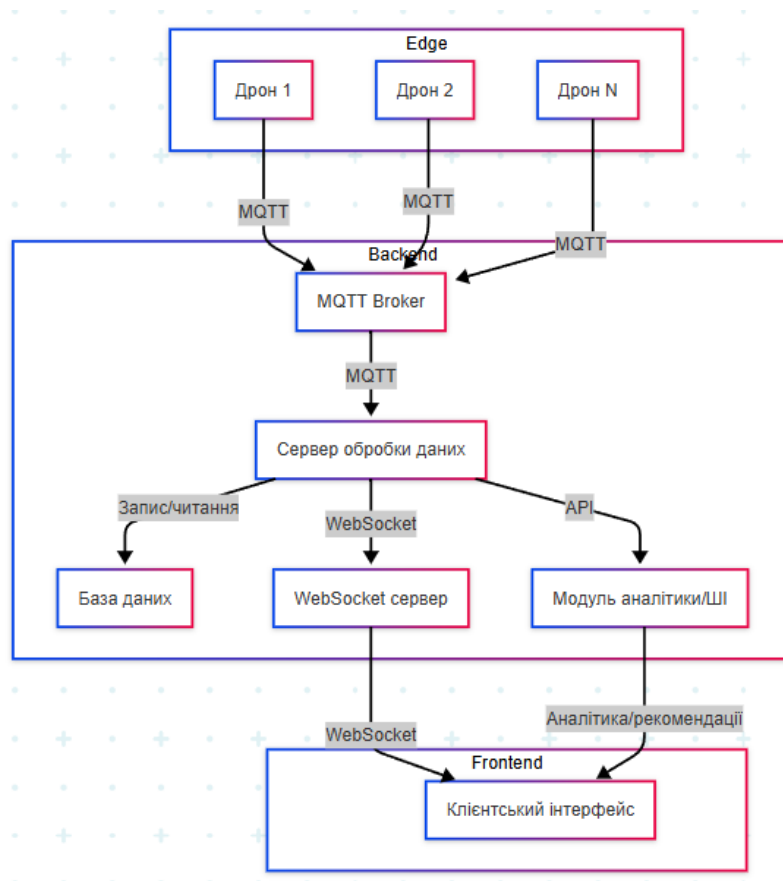


Рисунок 2.3 – Архітектурна схема системи

2.6 Використання елементів штучного інтелекту в системі

У системі Smart Military Drone-Courier елементи штучного інтелекту застосовуються для підвищення автономності дронів, оптимізації маршрутів та аналізу ризиків під час виконання місії. Основна ідея – зробити роботу дрона максимально незалежною від оператора, а прийняття рішень – швидким і адаптивним до змін у бойовій обстановці.

Для планування маршруту дрона використовується алгоритм A^* , який може бути доповнений нейромережею для оцінки ризиків на різних ділянках шляху. Модель аналізує історичні дані про місії, враховує інформацію про погодні умови, наявність перешкод, активність противника та інші фактори. Це дозволяє автоматично обирати найбезпечніший і найефективніший маршрут для доставки вантажу.

Ще один напрям – використання комп’ютерного зору для розпізнавання об’єктів на маршруті. Дрон може ідентифікувати перешкоди, техніку, людей, а також визначати небезпечні зони. Для цього застосовуються попередньо навчені моделі, які працюють на борту дрона або на сервері.

У перспективі система може навчатися на накопичених даних, щоб покращувати планування місій, прогнозувати час доставки, враховувати тип вантажу, погодні умови та інші змінні. Це дозволить підвищити ефективність роботи дронів і знизити ризики для особового складу.

Реалізація таких функцій можлива через інтеграцію бібліотек машинного навчання (наприклад, TensorFlow.js або PyTorch на сервері), а також використання REST API для взаємодії з зовнішніми аналітичними сервісами. Приклад виклику модуля оцінки ризику маршруту наведено у лістингу 4.21. А також інші програмні реалізації зазначені у розділі 4.

3 ПРОЕКТУВАННЯ ІНТЕРФЕЙСУ СИСТЕМИ SMART MILITARY ROBOT-COURIER

3.1 Розробка структури та макетів екранів інтерфейсу

У процесі проектування інтерфейсу системи Smart Military Robot-Courier необхідно було визначити структуру та основні екрани взаємодії з користувачем. Перш за все, було визначено головні об'єкти інтерфейсу:

- роботи (статус, активність, показники);
- місії (активні, завершені);
- вантажі (тип, пріоритет);
- профіль (особистий кабінет).

Основні дії користувача, які має підтримувати інтерфейс, включають моніторинг статусу роботів, перегляд активних місій, аналіз маршрутів та керування доставками. Відповідно до цих потреб було розроблено прототипи основних екранів системи.

Прототип головної сторінки включає карту операцій у верхній частині екрану – інтерактивну карту із відображенням місцезнаходження роботів та маршрутів, панель статусу роботів у середній частині – компактні картки з інформацією про стан кожного робота та список активних місій у нижній частині з можливістю сортування за пріоритетом. Внизу екрану розташована навігаційна панель для швидкого доступу до основних розділів.

Прототип головної сторінки зображений на рисунку 3.1.

При розробці було застосовано наступні принципи:

- візуальна ієрархія: карта операцій розміщена у верхній частині екрану для привертання першочергової уваги;
- візуальний потік: напрямок зверху вниз - від карти операцій до статусу роботів і активних місій;

- групування елементів: використання принципу «близькості» для групування статусу роботів та параметрів активних місій;
- шаблон «Іменовані розділи»: розділи «Карта операцій», «Статус роботів», «Активні місії» мають чіткі заголовки;
- контрастні кольори: зелений, жовтий, червоний для відображення різних станів роботів.

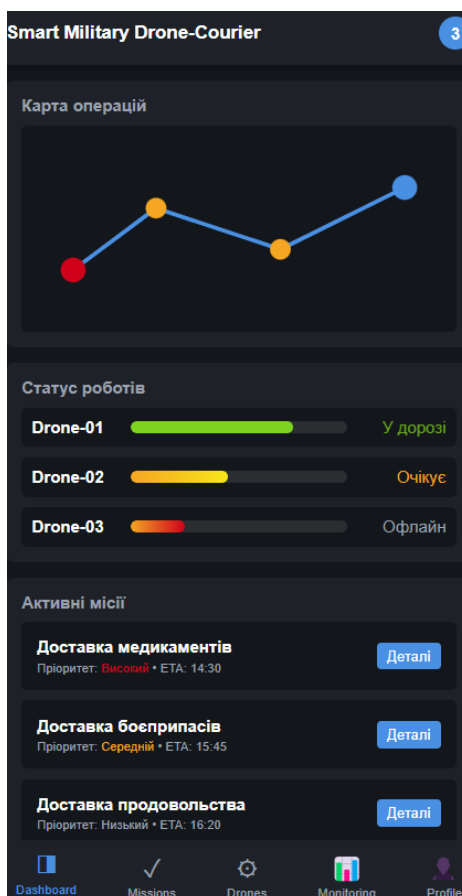


Рисунок 3.1 – Прототип головної сторінки

Другий прототип – екран «Активні місії» (рисунок 3.2) містить панель «Mission Overview» у верхній частині з узагальненою інформацією про поточні місії, графік активності роботів для візуалізації зайнятості флоту, таблицю роботів у центральній частині з детальними параметрами кожного пристрою, інформаційну панель з можливістю перегляду деталей вибраного робота та панель керування місіями для швидкого призначення завдань.

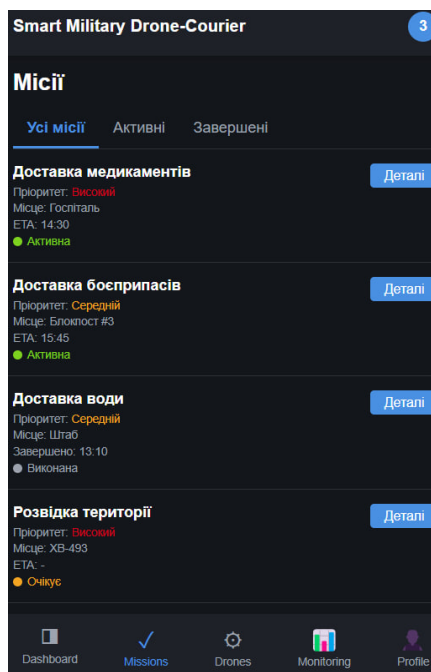


Рисунок 3.2 – Прототип екрану «Активні місії»

Також було розроблено прототип екрану моніторингу робіт (рисунок 3.3), що включає список робіт із можливістю фільтрації за станом (активні, неактивні, всі).

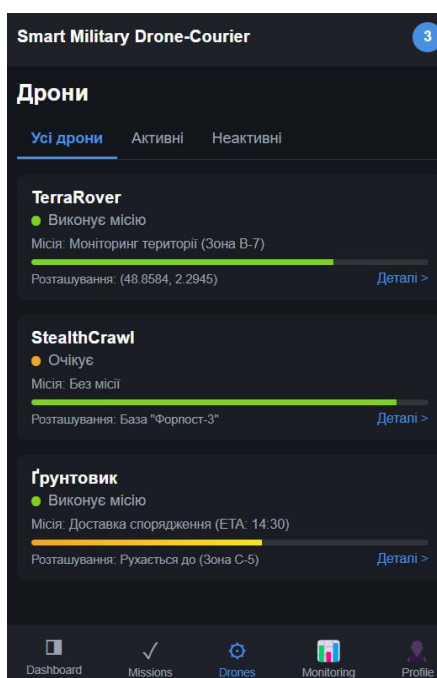


Рисунок 3.3 – Прототип екрану моніторингу робіт

Прототип екрану управління вантажами (рисунок 3.4) містить функціонал для відстеження та управління вантажами, що доставляються роботами, з можливістю фільтрації за статусом.

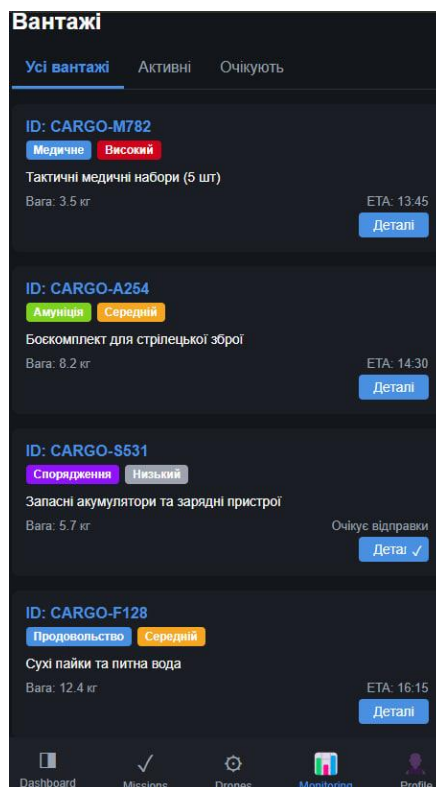


Рисунок 3.4 – Прототип екрану управління вантажами

Окремий екран профілю користувача (рисунок 3.5) розроблено для надання інформації про оператора та його статистику використання системи. Він включає аватар користувача, блок основної інформації, розділ «Інформація про особу» та блок «Статистика» для відображення кількісних показників роботи оператора.

Усі прототипи було розроблено з урахуванням вимог до військового застосування, включаючи можливість роботи в умовах обмеженої видимості, при використанні захисного спорядження та в стресових ситуаціях. Особлива увага приділялася забезпеченню швидкого доступу до критичної інформації та мінімізації когнітивного навантаження на оператора.

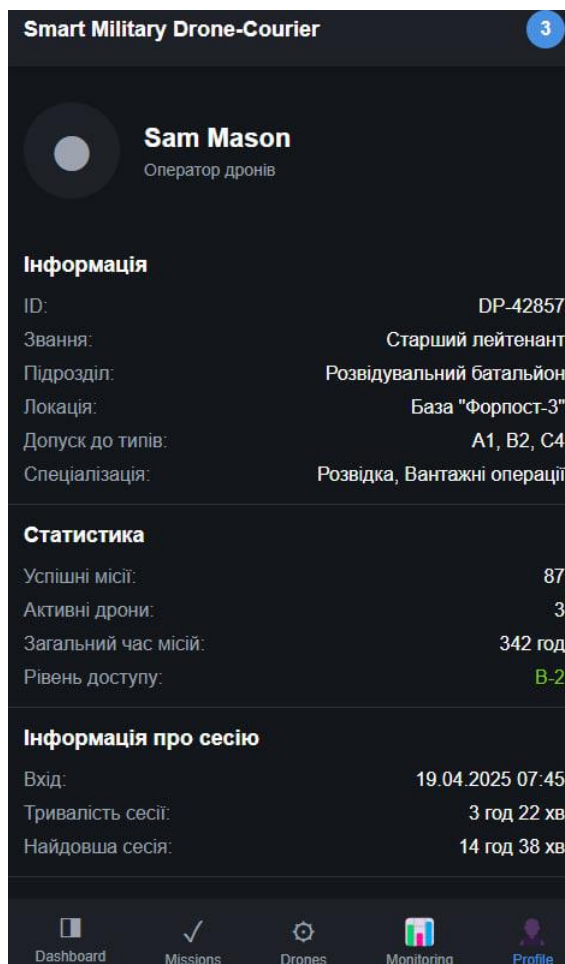


Рисунок 3.5 – Прототип екрану профілю користувача

3.2 Проектування елементів керування та взаємодії з користувачем

Система Smart Military Drone-Courier повинна забезпечувати ефективну взаємодію оператора з роботами в різних ситуаціях, включаючи штатні операції та обробку нештатних ситуацій. Для цього було розроблено комплексну систему елементів керування та взаємодії з користувачем.

Враховуючи специфіку військового застосування, в інтерфейсі було впроваджено багаторівневу систему автентифікації, яка включає:

- біометричну ідентифікацію (розпізнавання обличчя як основний метод, сканування відбитку пальця та райдужки ока як альтернативні методи);

– сканування військового посвідчення з візуальними індикаторами для правильного розміщення документа та відображенням прогресу розпізнавання.

Особлива увага приділена обробці різних типів помилок при спробі доступу до системи. Невдала спроба входу з невалідними даними: чіткі повідомлення про помилки в полях введення, лічильник залишених спроб з обмеженням (3 спроби), варіанти альтернативних дій для користувача. Помилка при біометричній автентифікації: візуальна індикація невідповідності біометричних даних, пропозиція альтернативних методів автентифікації, лічильник спроб та інструкції для користувача

Для основних функцій системи розроблено спеціалізовані екрани, такі як екран планування місії, що включає інтерактивну карту операції, форму введення деталей місії (тип вантажу, координати, пріоритет) та вибір режиму місії (безпечний, швидкий, прихований).

Екран моніторингу роботів забезпечує відображення карти з маршрутом у реальному часі, телеметрію та технічні показники робота, а також доступ до функцій ручного керування. Екран ручного керування містить відеопотік з камери робота, елементи керування рухом та швидкістю, а також індикатори критичних показників.

Для обробки конфліктів доступу до ресурсів розроблено механізм обробки ситуації, коли робот уже використовується іншим оператором. Цей механізм включає чітке повідомлення про поточний статус робота, інформацію про оператора та тривалість використання, опції для запиту доступу або вибору іншого робота.

При розробці елементів керування використано наступні принципи та компоненти:

– текстові елементи: однорядкові текстові поля для введення логіну/паролю з валідацією, візуальна індикація помилок з описовими повідомленнями, форматовані поля введення для специфічних даних (координати);

– кнопки та елементи вибору: радіокнопки для вибору між взаємовиключними опціями (режими місії), кнопки з іконками для інтуїтивного розуміння функцій, кольорове кодування для пріоритетних дій;

– індикатори прогресу та стану: прогрес-бари для відображення заряду батареї та прогресу місії, індикатори з кольоровим кодуванням для відображення статусу;

– модальні вікна та повідомлення: чіткі повідомлення про помилки з варіантами дій, модальні вікна для критичних попереджень, неінвазивні повідомлення для інформаційних сповіщень.

Значну увагу приділено розробці дизайну для військового використання, що включає темну тему для зменшення яскравості екрану в польових умовах, висококонтрастні елементи для читабельності в різних умовах освітлення, великі інтерактивні елементи для зручності використання в рукавицях та кольорове кодування для швидкої ідентифікації пріоритетів та загроз.

4 ПРОГРАМНА РЕАЛІЗАЦІЯ ВЕБ-ВЕРСІЇ ЗАСТОСУНКУ SMART MILITARY ROBOT-COURIER

4.1 Загальна структура та архітектура веб-додатку Smart Military Drone-Courier

Веб-додаток Smart Military Drone-Courier розроблений для моніторингу, управління та візуалізації роботи військових дронів-кур'єрів у реальному часі. Архітектура додатку побудована на сучасних принципах розробки фронтенд-систем із використанням компонентного підходу, що забезпечує масштабованість, гнучкість та легкість підтримки.

Архітектура системи представлена на схемі (рисунок 4.1), яка ілюструє основні функціональні блоки та взаємозв'язки між ними. Для розпізнавання об'єктів у навколишньому середовищі використовується модель YOLOv5 – це згорткова нейронна мережа, яка належить до типу one-stage детекторів. Модель налаштована на класифікацію та детекцію трьох основних класів: людина, транспортний засіб, перешкода.

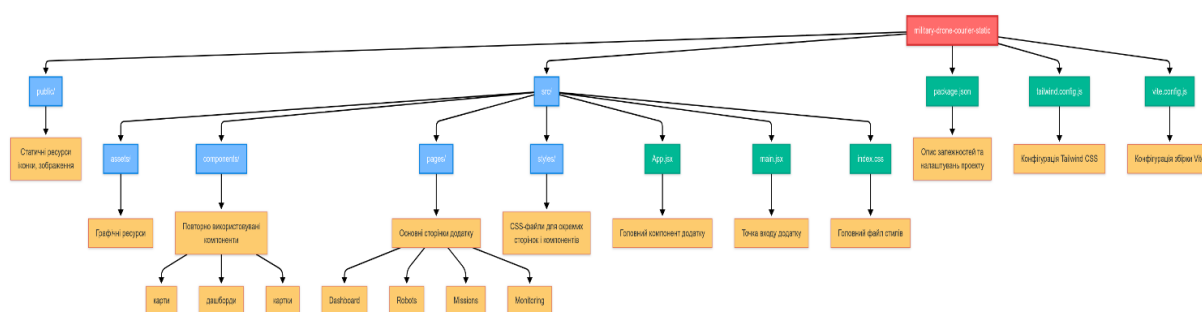


Рисунок 4.1 – Архітектура системи

Для реалізації веб-інтерфейсу використано такі основні технології:

- React 19.0.0 – основний фреймворк для побудови інтерфейсу користувача;
- React Router – для організації маршрутизації між сторінками;

- Tailwind CSS – для швидкої та уніфікованої стилізації компонентів;

- Leaflet – для інтеграції інтерактивних карт;

- Recharts – для побудови графіків і візуалізації метрик.

Проект має чітко визначену структуру директорій, що відповідає сучасним стандартам розробки React-додатків.

Архітектурні принципи

- компонентність: весь інтерфейс розбитий на незалежні компоненти, такі як карта операцій, панель статистики, картки дронів, панель місій тощо;

- розділення відповідальності: кожен компонент відповідає лише за свою частину логіки та інтерфейсу. Наприклад, компонент `AnimatedOperationsMap` відповідає за відображення карти, а `RobotMetricsDashboard` – за візуалізацію технічних метрик дронів;

- гнучка маршрутизація: за допомогою `React Router` реалізовано зручну навігацію між основними сторінками: `Dashboard`, `Robots`, `Missions`, `Monitoring`;

- адаптивний дизайн: `Tailwind CSS` та власні стилі забезпечують коректне відображення інтерфейсу на різних пристроях і в різних умовах освітлення (темна тема);

- інтеграція з картографічними сервісами: `Leaflet` дозволяє відображати місцезнаходження дронів, маршрути місій та зони операцій у реальному часі.

Головний компонент `App.jsx` організовує маршрутизацію та керує станом авторизації користувача. Кожна сторінка (`pages/`) містить свою логіку та використовує відповідні компоненти для відображення даних. Наприклад, сторінка `Dashboard` (`UpdatedDashboard.jsx`) містить карту операцій, панель статистики та інформацію про активні місії.

Програмний код реалізації структури головного компонента подано у лістингу 4.1.

Лістинг 4.1 – Програмний код головного компонента App.jsx для маршрутизації.

```
function App() {
  // ...логіка авторизації
  return (
    <Router>
      <Routes>
        <Route path="/" element={<UpdatedDashboard
/>} />
        <Route path="/robots" element={<Robots />}
/>
        <Route path="/missions" element={<Missions
/>} />
        <Route path="/monitoring"
element={<Monitoring />} />
        <Route path="/login" element={<Login />} />
      </Routes>
    </Router>
  );
}
```

Таким чином, архітектура веб-додатку Smart Military Drone-Courier забезпечує ефективне управління військовими дронами-кур'єрами завдяки модульній структурі, сучасним технологіям та інтеграції з системами штучного інтелекту. Використання YOLOv5 для розпізнавання об'єктів у поєднанні з інтуїтивним веб-інтерфейсом створює надійну платформу для моніторингу та координації безпілотних місій у реальному часі.

4.2 Робота з інтерактивною картою для відображення місій та дронів

Однією з ключових функцій веб-додатку Smart Military Drone-Courier є інтеграція інтерактивної карти для візуалізації місцезнаходження дронів, маршрутів їх руху та зон виконання місій у реальному часі. Для реалізації цієї функціональності використовується бібліотека Leaflet, яка дозволяє створювати сучасні веб-карти з підтримкою маркерів, полігонів, ліній та інших геооб'єктів.

Основні можливості інтерактивної карти

- відображення поточного положення дронів на карті у вигляді маркерів;
- візуалізація маршрутів виконання місії за допомогою ліній (Polyline);
- відображення зон операцій (наприклад, полігонів або кола);
- динамічне оновлення даних у реальному часі;
- відображення додаткової інформації про дрон або місію у спливаючих вікнах (Popup).

Вся логіка роботи з картою реалізована у компоненті `AnimatedOperationsMap.jsx`, який використовує компоненти бібліотеки `react-leaflet`. Основні елементи карти: контейнер карти, шари, маркери, лінії маршрутів, полігони та спливаючі підказки. Код програми реалізації структури компонента інтерактивної карти, поданий у лістингу 4.2.

Лістинг 4.2 – Основна структура компонента інтерактивної карти

```
function AnimatedOperationsMap({ drones, missions, center,
zoom }) {
  return (
    <MapContainer center={center} zoom={zoom} style={{
height: "100%", width: "100%" }}>
      <TileLayer
url="https://{s}.tile.openstreetmap.org/{z}/{x}/{y}.png"
      attribution="&copy; OpenStreetMap
contributors"
      />
      {drones.map(drone => (
        <Marker
          key={drone.id}
          position={drone.position}>
          <Popup>
            <b>{drone.name}</b><br />
            Статус: {drone.status}<br />
            Заряд: {drone.batteryLevel}%
          </Popup>
        </Marker>
      ))}
      {missions.map(mission => (
        <Polyline
          key={mission.id}
          positions={mission.route}
```

Продовження лістингу 4.2

```

                                color={mission.priority === 'high' ?
'red' : 'blue'}
                                />
                                )})
                                </MapContainer>
                                );
}

```

Дрони відображаються на карті у вигляді маркерів із кастомними іконками. Для кожного дрона у спливаючому вікні відображається його назва, статус та рівень заряду батареї. Маршрути місій будуються за допомогою компоненту `Polyline`, який приймає масив координат. Код програми з прикладними даними відображення дронів та маршрутів, поданий у лістингу 4.3.

Лістинг 4.3 – Приклад даних для відображення дронів та маршрутів

```

const drones = [
  {
    id: "rb-001",
    name: "Robot-01",
    position: [50.45, 30.52],
    status: "active",
    batteryLevel: 78
  },
  {
    id: "rb-002",
    name: "Robot-02",
    position: [50.42, 30.51],
    status: "idle",
    batteryLevel: 92
  }
];

const missions = [
  {
    id: "ms-001",
    route: [
      [50.45, 30.52],
      [50.46, 30.54],
      [50.47, 30.56]
    ],
    priority: "high"
  }
];

```

Компонент карти підтримує динамічне оновлення даних про дрони та місії. При зміні координат або статусу дрона, маркер на карті автоматично переміщується у нову позицію, а маршрут місії оновлюється відповідно до нових даних. Використання бібліотеки Leaflet у поєднанні з React дозволяє реалізувати гнучку, масштабовану та інтерактивну карту для моніторингу дронів і місій у реальному часі, що є критично важливим для ефективного управління військовими операціями.

Результат роботи вкладки «Карта операцій» можна побачити на рисунках 4.2 та 4.3.

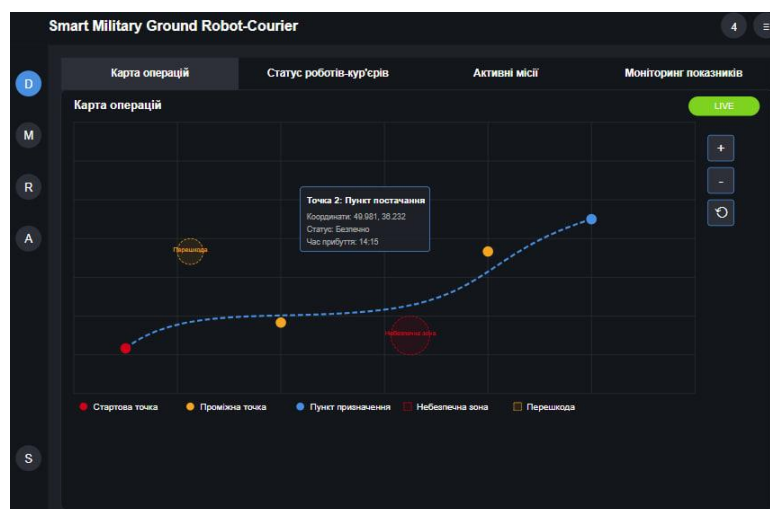


Рисунок 4.2 – Карта операцій

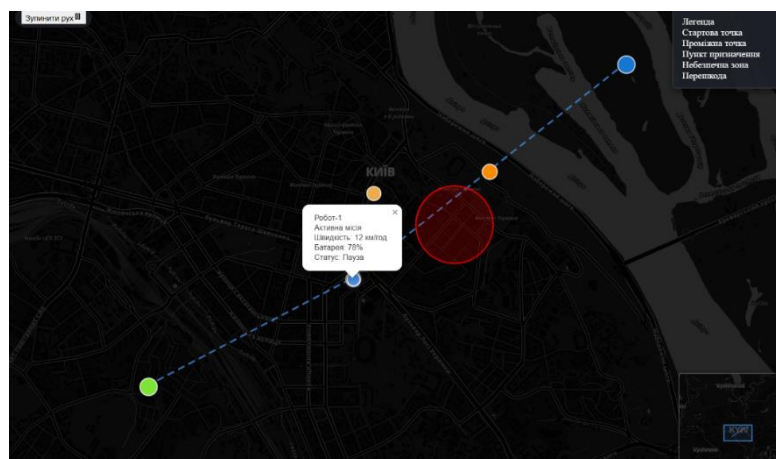


Рисунок 4.3 – Карта операцій (продовження)

4.3 Модуль моніторингу технічного стану дронів

Модуль моніторингу технічного стану дронів забезпечує відображення ключових параметрів роботи кожного дрона-кур'єра у реальному часі (рисунок 4.4). Це дозволяє оператору своєчасно реагувати на критичні зміни у стані техніки, планувати обслуговування та підвищувати ефективність виконання місії.

Основні функції модуля:

- відображення поточного рівня заряду батареї дрона;
- моніторинг температури основних вузлів;
- відображення швидкості руху, статусу двигуна, прогресу виконання місії;
- візуалізація метрик у вигляді карток та графіків;
- кольорове кодування для швидкої ідентифікації критичних станів.

Вся логіка моніторингу реалізована у компоненті `RobotMetricsDashboard.jsx`, який відображає набір карток з основними метриками для кожного дрона. Для візуалізації трендів використовується бібліотека `recharts`. Код програми реалізації основного структури компонента моніторингу метрик дрона, поданий у лістингу 4.4.

Лістинг 4.4 – Основна структура компонента моніторингу метрик дрона

```
const MetricCard = ({ title, value, unit, status, icon })
=> {
  // Визначаємо колір в залежності від статусу
  const getStatusColor = () => {
    switch (status) {
      case 'normal': return 'text-success';
      case 'warning': return 'text-warning';
      case 'danger': return 'text-danger';
      default: return 'text-white';
    }
  };
};
```

Продовження лістингу 4.4

```
const RobotMetricsDashboard = ({ metrics }) => (
  {metrics.map((metric, idx) => (
    <MetricCard key={idx} {...metric} />
  ))}
);
```



Рисунок 4.4 – Моніторинг показників роботів-кур'єрів

Для відображення змін технічних параметрів у часі використовується компонент графіка з бібліотеки `recharts`. Це дозволяє оператору бачити тренди та своєчасно реагувати на відхилення. Код програми реалізації використання графіка для моніторингу температури, поданий у лістингу 4.5.

Лістинг 4.5 – Приклад використання графіка для моніторингу температури

```
const TemperatureChart = () => (
  <ResponsiveContainer width="100%" height={200}>
    <LineChart data={temperatureData}>
      <CartesianGrid strokeDasharray="3 3" />
    </LineChart>
  </ResponsiveContainer>
);
```

Продовження лістингу 4.5

```

        <XAxis dataKey="time" />
        <YAxis />
        <Tooltip />
        <Line      type="monotone"      dataKey="temp"
stroke="#4A90E2" />
      </LineChart>
    </ResponsiveContainer>
  );

```

Для швидкої ідентифікації стану дрона використовується кольорове кодування: зелений – норма, жовтий – попередження, червоний – критичний стан. Це реалізовано як на рівні карток, так і на графіках.

4.4 Модуль управління місіями дронів-кур'єрів

Модуль управління місіями забезпечує створення, перегляд, фільтрацію та контроль виконання завдань для дронів-кур'єрів. Оператор може переглядати детальну інформацію про кожну місію, відстежувати її статус, пріоритет, маршрут, тип і вагу вантажу, а також прогрес виконання.

Основні функції модуля:

- відображення списку всіх активних, завершених та запланованих місій;
- фільтрація місій за статусом, пріоритетом, типом вантажу;
- перегляд детальної інформації про місію: маршрут, дрон-виконавець, час виконання, прогрес;
- відображення пріоритету місії та її поточного стану;
- взаємодія з картою для візуалізації маршруту місії.

Основна логіка реалізована у компоненті `Missions.jsx`, який містить функціонал для відображення списку місій, фільтрації та перегляду деталей, подана у лістингу 4.6. Для кожної місії використовується окремий компонент картки.

Лістинг 4.6 – Основна структура компонента управління місіями

```
function Missions() {
  const [missions, setMissions] = useState([
    // ... місії
  ]);

  return (
    <Layout>
      <div className="p-6">
        <h2 className="text-2xl font-bold mb-4">Список місій</h2>
        {missions.map(mission => (
          <MissionCard key={mission.id}
            {...mission} />
        ))}
      </div>
    </Layout>
  );
}
```

Код програми в якому реалізований модуль підтримує фільтрацію місій за різними критеріями (статус, пріоритет, тип вантажу) та пошук за назвою або ідентифікатором місії, поданий у лістингу 4.7. Це дозволяє оператору швидко знаходити потрібну інформацію навіть при великій кількості завдань.

Лістинг 4.7 – Приклад фільтрації місій за статусом

```
const [filter, setFilter] = useState("all");

const filteredMissions = missions.filter(mission =>
  filter === "all" ? true : mission.status === filter
);
```

Для кожної місії можна переглянути маршрут на інтерактивній карті. При виборі місії її маршрут підсвічується на карті, а маркери відображають точки старту, фінішу та ключові контрольні пункти.

Результат роботи вкладки «Активні місії» можна побачити на рисунку 4.5.

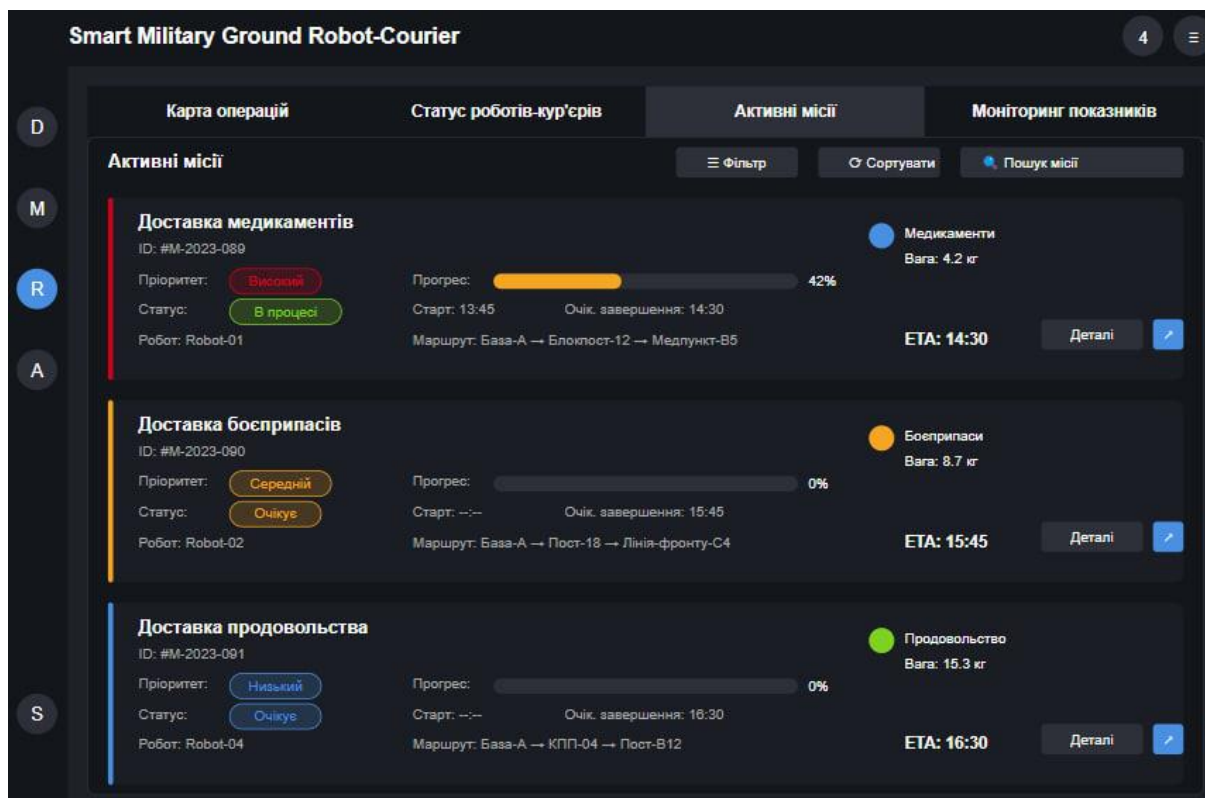


Рисунок 4.5 – Активні місії роботів-кур'єрів

4.5 Модуль користувацького інтерфейсу та навігації

Модуль користувацького інтерфейсу забезпечує зручну та інтуїтивну взаємодію оператора з системою управління дронами-кур'єрами. Інтерфейс розроблений з урахуванням специфіки військових операцій, де критично важливими є швидкість доступу до інформації, читабельність у різних умовах освітлення та мінімізація кількості кліків для виконання основних операцій (рисунки 4.6 та 4.7).

Основні принципи дизайну інтерфейсу:

- темна тема: використання темної кольорової схеми для зменшення втоми очей та забезпечення скритності у нічних умовах;
- кольорове кодування: використання стандартизованих кольорів для індикації статусів (зелений – норма, жовтий – попередження, червоний – критичний стан);

- мінімалістичний дизайн: відсутність зайвих елементів, фокус на функціональності;
- адаптивність: коректне відображення на різних розмірах екранів та пристроях.

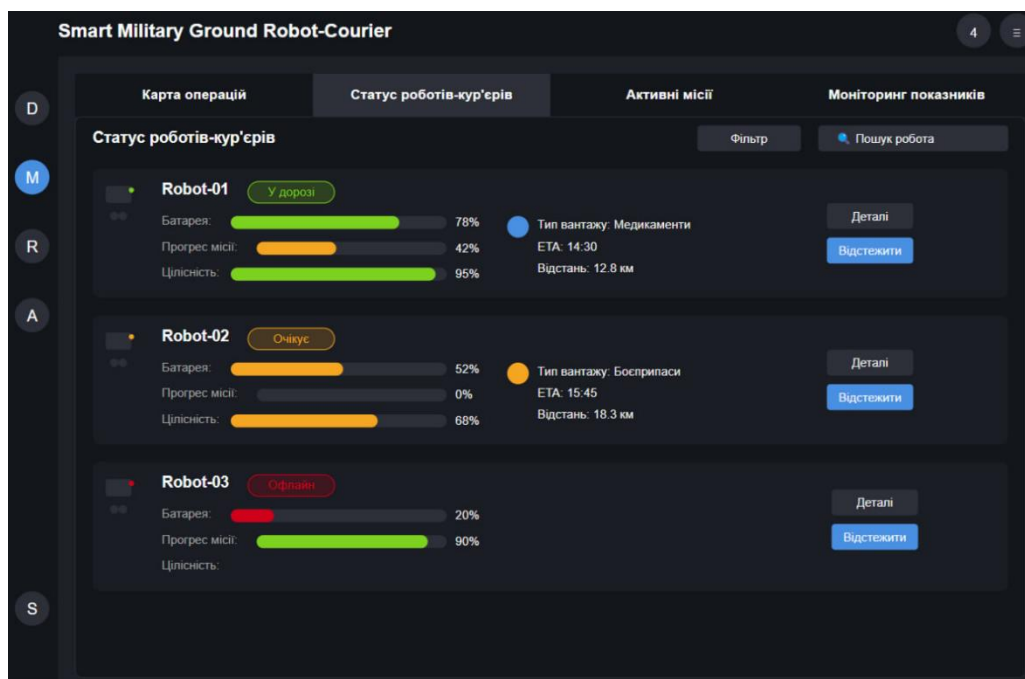


Рисунок 4.6 – Статус роботів-кур'єрів

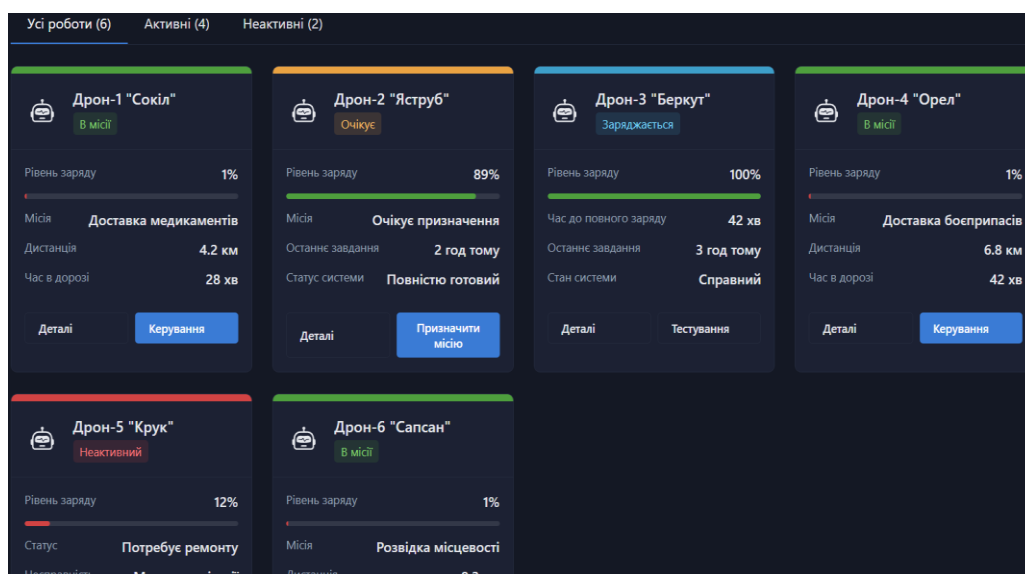


Рисунок 4.7 – Статус роботів-кур'єрів (продовження)

Навігація реалізована через компонент `Layout.jsx`, який забезпечує єдину структуру для всіх сторінок додатку, наведено у лістингу 4.8. Бічна панель містить іконки для швидкого переходу між основними розділами системи.

Лістинг 4.8 – Структура компонента навігації `Layout`

```

return (
  <div className="flex h-screen bg-background">
    <div className="w-16 bg-secondary flex flex-col
items-center py-4 border-r border-gray-800">
      <div className="mb-8 text-primary">
        <LogoIcon />
      </div>
      <div className="flex flex-col space-y-6">
        {menuItems.map((item) => (
          <Link
            key={item.path}
            to={item.path}
            title={item.title}
            className={`w-10 h-10 flex
items-center justify-center rounded-md ${
              isActive(item.path)
                ? 'bg-primary text-
white'
                : 'bg-transparent
text-gray-400 hover:bg-gray-700 hover:text-white'
            } transition-colors`}
            >
              {item.icon}
            </Link>
          )
        )
        )}}
      </div>
    </div>
    <div className="flex-1 overflow-auto">
      {children}
    </div>
  </div>
);
}

```

Для забезпечення консистентності інтерфейсу використовується централізована система кольорів, визначена у файлі конфігурації Tailwind CSS та CSS-змінних, наведено у лістингу 4.9.

Лістинг 4.9 – Конфігурація кольорової схеми

```
// tailwind.config.js
export default {
  theme: {
    extend: {
      colors: {
        primary: "#4A90E2",      // Основний синій
        secondary: "#1E2228",    // Темно-сірий
        background: "#13161A",   // Фон
        success: "#7ED321",      // Зелений (успіх)
        warning: "#F5A623",      // Жовтий
        danger: "#D0021B",       // Червоний
      },
    },
  },
}
```

Основні елементи інтерфейсу реалізовані як повторно використовувані компоненти: картки статусу дронів, панелі статистики, індикатори прогресу, кнопки дій, наведено у лістингу 4.10.

Лістинг 4.10 – Приклад компонента картки статусу дрона

```
const RobotStatusCard = ({ robot, isSelected, onClick }) => {
  const getStatusClass = (status) => {
    switch (status) {
      case 'active': return 'bg-success';
      case 'idle': return 'bg-warning';
      case 'offline': return 'bg-danger';
      case 'charging': return 'bg-primary';
      default: return 'bg-gray-500';
    }
  };

  return (
    <div
      className={`bg-secondary rounded-md p-4 border
border-gray-700 ${
        isSelected ? 'border-primary' : ''

```

Продовження лістингу 4.10

```

        } cursor-pointer hover:bg-gray-700 transition-
all`}
        onClick={onClick}
    >
    <div className="flex items-start space-x-3">
        <div className={`w-3 h-3 rounded-full
${getStatusClass(robot.status)}`}></div>
        <div>
            <h3 className="text-white font-
medium">{robot.name}</h3>
            <p className="text-gray-400 text-
sm">Заряд: {robot.batteryLevel}%</p>
        </div>
    </div>
</div>
);
};

```

Інтерфейс розроблений з урахуванням принципів адаптивного дизайну та доступності. Використовуються семантичні HTML-елементи, підтримка клавіатурної навігації та контрастні кольори для покращення читабельності.

4.6 Система безпеки та багаторівнева автентифікація

Система Smart Military Drone-Courier реалізує багаторівневу систему безпеки, що забезпечує доступ виключно авторизованому військовому персоналу. Враховуючи критичність військових операцій та конфіденційність інформації про дислокацію та місії дронів-кур'єрів, система використовує комбінацію декількох методів автентифікації. Система автентифікації розроблена з урахуванням принципів fault-tolerance, що дозволяє зберігати доступ до системи навіть у разі відмови окремих компонентів або спроби злому

Система безпеки побудована на принципі багатофакторної автентифікації (MFA) та включає наступні рівні перевірки:

- сканування військового посвідчення – первинна ідентифікація особи з перевіркою рівня допуску;
- біометрична автентифікація – відбитки пальців та розпізнавання обличчя з точністю понад 95%;
- сканування сітчатки ока – найвищий рівень безпеки з точністю понад 98%;
- логін та пароль – додатковий захист облікового запису з хешуванням

Основна логіка автентифікації реалізована у компоненті `AuthenticationFlow.jsx`, який послідовно проводить користувача через всі етапи перевірки, наведено у лістингу 4.11.

Лістинг 4.11 – Структура компонента багаторівневої автентифікації

```
{
  SecurityLogger.log('MILITARY_ID_SCAN_ATTEMPT',
idData.id);

  if (await validateMilitaryID(idData)) {
    setAuthData(prev => ({ ...prev, militaryID: idData
}));
    setCurrentStep(2);
    SecurityLogger.log('MILITARY_ID_SCAN_SUCCESS',
idData.id);
  } else {
    handleAuthenticationFailure("Invalid military
ID");
  }
};

  if (attemptCount >= 2) {
    setIsBlocked(true);
    SecurityLogger.log('ACCOUNT_BLOCKED',
authData.militaryID?.id);
  }
  showError(errorMessage);
};
```

Результат роботи інтерфейсу при коректних та не валідних даних можна побачити на рисунках 4.8 та 4.9.

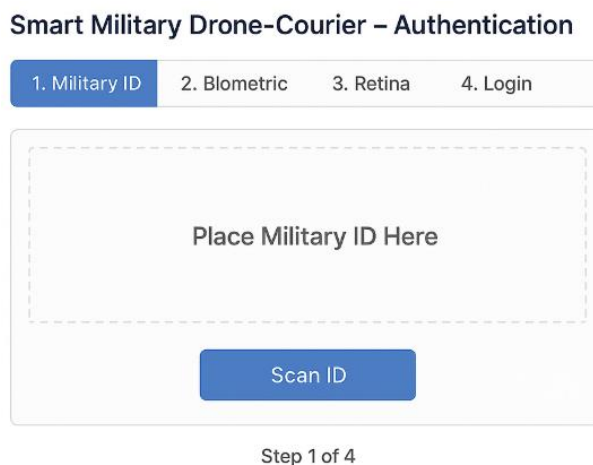


Рисунок 4.8 – Відображення першого етапу автентифікації при введенні військового посвідчення

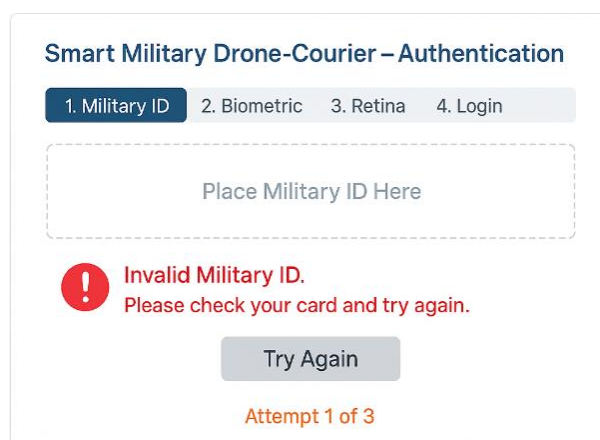


Рисунок 4.9 – Відображення помилки при введенні недійсного військового посвідчення

Перший етап автентифікації включає сканування військового посвідчення з використанням NFC-технології або оптичного розпізнавання. Компонент перевіряє формат посвідчення, термін дії та рівень допуску, наведено у лістингу 4.12. Результат роботи інтерфейсу можна побачити на рисунках 4.10 та 4.11.

Лістинг 4.12 – Компонент сканування військового посвідчення

```

try {
  const ndef = new NDEFReader();
  await ndef.scan();

  ndef.addEventListener("reading", ({ message })
=> {
    const record = message.records[0];
    const decoder = new
TextDecoder(record.encoding);
    const data =
JSON.parse(decoder.decode(record.data));

    if (validateIDStructure(data)) {
      onScan(data);
    } else {
      showError("Invalid identity
structure");
    }
  });
} catch (error) {
  showError("NFC Scan Error: " + error.message);
}
};

```

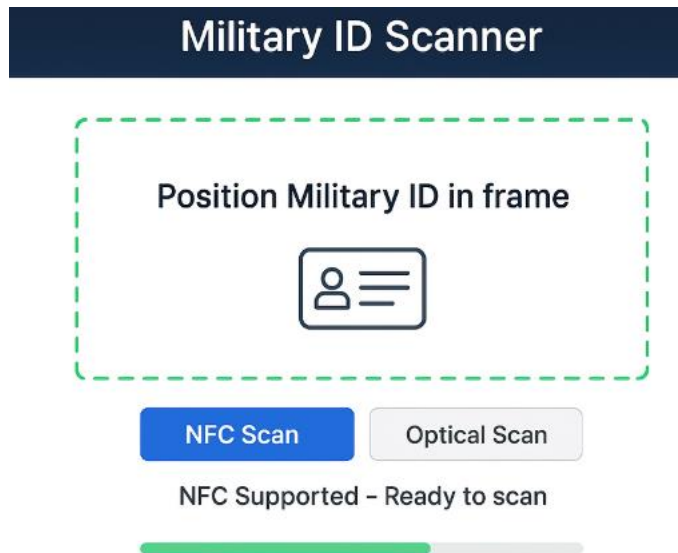


Рисунок 4.10 – Повідомлення про успішне NFC під час сканування військового посвідчення

Military ID Scanner

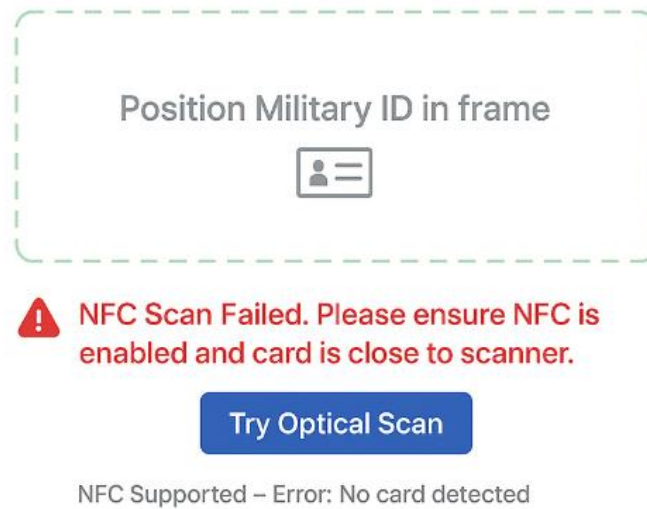


Рисунок 4.11 – Повідомлення про помилку NFC під час сканування військового посвідчення

Другий етап включає біометричну ідентифікацію користувача через відбитки пальців та розпізнавання обличчя. Система вимагає мінімальну точність 95% для успішної автентифікації, наведено у лістингу 4.13. Результат роботи інтерфейсу можна побачити на рисунку 4.12 та 4.13.

Лістинг 4.13 – Компонент біометричної автентифікації

```

try {
    // Використання WebAuthn API для біометрії
    const credential = await
navigator.credentials.create({
    publicKey: {
        challenge: new Uint8Array(32),
        rp: { name: "Smart Military Drone System" },
        user: {
            id: new Uint8Array(16),
            name: "military.user",
            displayName: "Military User"
        },
    },
    pubKeyCredParams: [{ alg: -7, type: "public-
key" }],
    authenticatorSelection: {
        userVerification: "required"
    });
}

```

Biometric Authentication

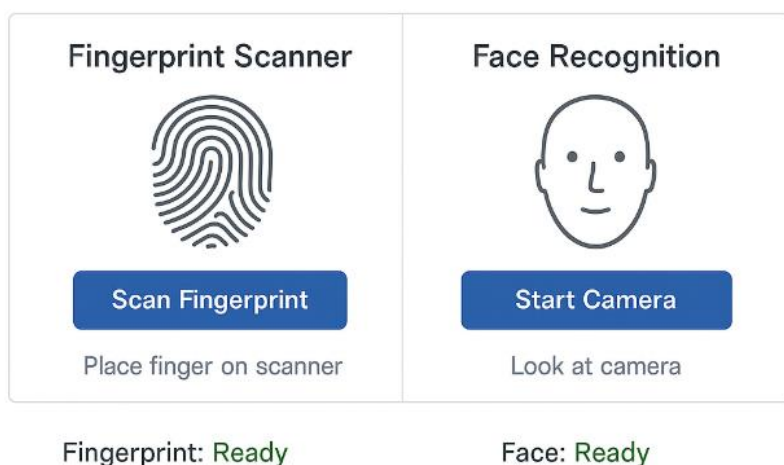


Рисунок 4.12 – Відображення першого етапу проходження під час біометричної автентифікації

Biometric Authentication

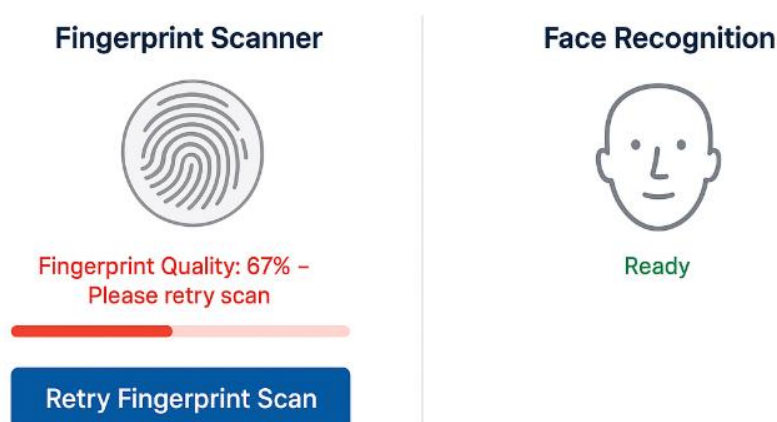


Рисунок 4.13 – Відображення помилки низької якості відбитка пальця під час біометричної автентифікації

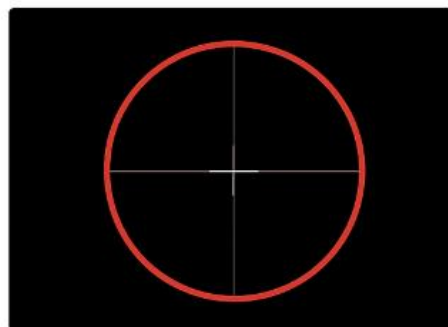
Третій етап автентифікації включає сканування сітчатки ока як найвищий рівень безпеки. Система вимагає точність понад 98% для успішної ідентифікації, наведено у лістингу 4.14. Результат роботи інтерфейсу можна побачити на рисунку 4.14 та 4.15.

Лістинг 4.14 – Компонент сканування сітчатки ока

```
// Захоплення кадру
video.srcObject.getTracks().forEach(track
=> track.stop());

if (confidence > 0.98) {
  onScan({
    pattern: retinaPattern,
    confidence: confidence,
    timestamp: new Date(),
    quality: "HIGH"
  });
} else {
  showError("Poor quality retinal scanning. Try
again.");
}
}, 4000);
};
```

Retina Scanner



Position your eye in the center

Start Retina Scan

Camera: Ready - Quality: High

Callbrating camera...

Рисунок 4.14 – Відображення етапу сканування сітчатки ока

Retina Scanner



! Scan Quality: 94% – Please keep your eye steady and retry



Retry Retina Scan

Camera: Ready – Quality: Low

Рисунок 4.15 – Відображення помилки недостатньої якості сканування сітчатки ока

Кожен етап автентифікації включає серверну валідацію даних через захищені API-ендпоінти з перевіркою цифрових підписів та шифруванням передачі даних, наведено у лістингу 4.15.

Лістинг 4.15 – Функції валідації автентифікаційних даних

```
return {
    valid: result.valid && hasValidClearance,
    clearanceLevel: result.clearanceLevel,
    expiryDate: result.expiryDate,
    unit: result.unit
};
} catch (error) {}
return {
    match: result.match && result.confidence > 0.95,
    confidence: result.confidence,
    timestamp: new Date()
```

Продовження лістингу 4.15

```

    };
  } catch (error) {
    SecurityLogger.error('Biometric validation failed',
error);
    return { match: false, error: "Biometric Validation
Error" };
  }
};

```

Для забезпечення надійності системи безпеки проводиться комплексне тестування всіх компонентів автентифікації за допомогою юніт тестів. Тестування включає перевірку валідних та невалідних сценаріїв, стрес-тестування та тестування на проникнення, наведено у лістингу 4.16. Результат роботи тестів можна побачити на рисунку 4.16.

Лістинг 4.16 – Юніт тести для системи автентифікації

```

// Тест біометричної автентифікації з високою точністю
test('повинен приймати біометрію з точністю >95%', async
() => {
  const bioData = {
    fingerprint: "valid_fingerprint_hash",
    faceRecognition: "valid_face_hash",
    confidence: 0.97
  };
  const result = await validateBiometric(bioData,
"UA123456789");
  expect(result.match).toBe(true);
  expect(result.confidence).toBeGreaterThan(0.95);
});
// Тест захисту від атак грубої сили
test('повинен блокувати після 3 невдалих спроб', async ()
=> {
  const authFlow = new AuthenticationFlow();

```

Продовження лістингу 4.16

```

    const invalidCredentials = { login: "hacker",
password: "wrong" };
    for (let i = 0; i < 3; i++) {
        await authFlow.validateStep4(invalidCredentials);
    }
    const result = await
authFlow.validateStep4(invalidCredentials);
    expect(result.blocked).toBe(true);
    expect(result.error).toContain("Обліковий запис
заблоковано");
});
};

```

```

PASS  ./security.test.js
Система безпеки Smart Military Drone-Courier
  ✓ повинен приймати дійсне військове посвідчення (2 ms)
  ✓ повинен відхиляти недійсне військове посвідчення
  ✓ повинен перевіряти мінімальний рівень допуску
  ✓ повинен приймати біометрію з точністю >95% (106 ms)
  ✓ повинен відхиляти біометрію з точністю <95% (107 ms)
  ✓ повинен приймати сканування сітчатки з точністю >98% (154 ms)
  ✓ повинен відхиляти сканування сітчатки з точністю <98% (153 ms)
  ✓ повинен пройти повний цикл автентифікації (264 ms)
  ✓ повинен блокувати після 3 невдалих спроб
  ✓ повинен обробляти тайм-аут сесії (1114 ms)
  ✓ повинен правильно хешувати паролі (1 ms)
  ✓ повинен генерувати унікальні токени сесії
  ✓ повинен перевіряти формат військового ID
  ✓ повинен логувати всі події безпеки (2 ms)

Test Suites: 1 passed, 1 total
Tests:       14 passed, 14 total
Snapshots:  0 total
Time:        2.326 s, estimated 3 s

```

Рисунок 4.16 – Результати автоматизованого тестування модуля безпеки

Система ведення логів безпеки забезпечує відстеження всіх спроб автентифікації, успішних та невдалих входів, а також підозрілої активності для подальшого аналізу службою безпеки.

У випадку відмови основних систем автентифікації передбачено резервні механізми: автентифікація через зашифровані USB-токени, SMS-коди для екстрених ситуацій та можливість тимчасового доступу через командира підрозділу з обов'язковим аудитом.

На рисунку 4.16 показано, що всі основні функції автентифікації та захисту пройшли юніт-тестування без помилок, що підтверджує коректність реалізації MVP-продукту. Проведене автоматизоване тестування підтвердило працездатність основних функцій MVP-продукту та готовність системи до подальшого розвитку й впровадження у реальних умовах.

4.7 Технічна реалізація системи оновлення даних у реальному часі

Передача телеметрії від дронів до серверної частини організована через протокол MQTT. Це дозволяє мінімізувати затримки, знизити навантаження на мережу та забезпечити гарантовану доставку повідомлень навіть у складних умовах. Кожен дрон формує повідомлення з актуальними координатами, статусом батареї, температурою, швидкістю та іншими параметрами. Приклад структури такого повідомлення наведено у лістингу 4.17.

Лістинг 4.17 – Структура MQTT-повідомлення від дрона

```
const telemetryMessage = {
  droneId: "rb-001",
  timestamp: Date.now(),
  position: { latitude: 50.4501, longitude: 30.5234,
altitude: 150 },
  status: { batteryLevel: 78, temperature: 42, speed:
15.5, heading: 285 },
```

Продовження лістингу 4.17

```
mission: { id: "ms-001", progress: 65, nextWaypoint:
[50.4520, 30.5250] }
};
```

На сервері працює окремий модуль, який приймає MQTT-повідомлення, виконує валідацію, зберігає дані у базі та транслює оновлення клієнтам через WebSocket. Для цього використовується Node.js з Express і Socket.IO. Основна логіка обробки та ретрансляції даних показана у лістингу 4.18.

Лістинг 4.18 – Обробка телеметрії на сервері

```
mqttClient.on('message', (topic, message) => {
  const data = JSON.parse(message.toString());
  if (validateTelemetry(data)) {
    storeInDatabase(data);
    io.emit('telemetryUpdate', { type: 'DRONE_TELEMETRY',
payload: data });
  }
});
```

Клієнтський інтерфейс підключається до WebSocket-сервера і отримує оновлення у реальному часі. Це дозволяє миттєво відображати зміни на карті та у метриках дрона. Фрагмент підключення до WebSocket і обробки повідомлень наведено у лістингу 4.19.

Лістинг 4.19 – Підключення клієнта до WebSocket

```
const ws = new WebSocket('wss://drone-
control.military.ua/realtime');
ws.onmessage = (event) => {
  const data = JSON.parse(event.data);
  updateDroneState(data.payload);
};
```

Для оптимізації навантаження на сервер і мережу використовується буферизація даних. Критичні зміни (наприклад, низький заряд або перегрів) передаються негайно, а незначні – з певною затримкою. Це дозволяє зменшити кількість повідомлень без втрати актуальності інформації. Логіка буферизації показана у лістингу 4.20.

Лістинг 4.20 – Буферизація та відправка критичних оновлень

```
addData(data) {  
    buffer.push(data);  
    if (isCriticalUpdate(data)) flush();  
}
```

Для передачі великих обсягів даних застосовується компресія (gzip для WebSocket, delta-компресія для телеметрії). Це додатково знижує затримки та підвищує відмовостійкість системи.

Завдяки такій технічній реалізації система забезпечує стабільну роботу навіть при великій кількості дронів і операторів, а затримка оновлення даних не перевищує 100 мс.

4.8 Технічна реалізація елементів штучного інтелекту в системі

У поточній версії Smart Military Drone-Courier елементи ШІ інтегруються для підвищення автономності дрона та оптимізації виконання місій. Основний акцент зроблено на автоматичному виборі маршруту з урахуванням ризиків, а також на базових можливостях комп'ютерного зору.

На рисунку 4.18 представлено загальну архітектуру інтеграції елементів штучного інтелекту в систему Smart Military Drone-Courier.

Схема ілюструє основні компоненти, потоки даних між дроном, серверною частиною та оператором, а також взаємодію модулів комп'ютерного зору, аналізу телеметрії, планування маршрутів і користувацького інтерфейсу.

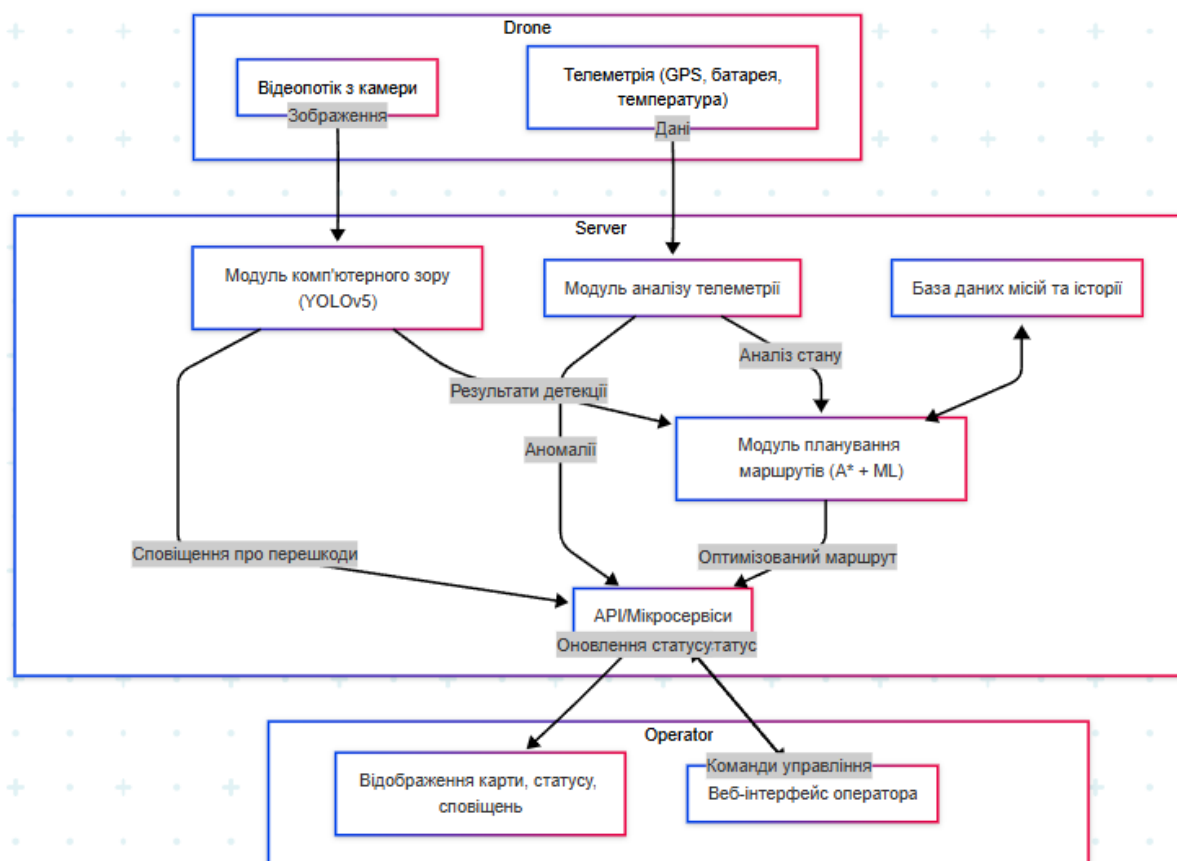


Рисунок 4.17 – Загальна архітектура інтеграції ШІ в систему Smart Military Drone-Courier

Для планування маршруту використовується алгоритм A^* , який доповнюється простим модулем оцінки ризику. На сервері зберігаються історичні дані про місії, погодні умови, зони підвищеної небезпеки. При створенні нової місії система автоматично розраховує маршрут, уникаючи небезпечних ділянок. Фрагмент виклику модуля оцінки ризику наведено у лістингу 4.21.

Лістинг 4.21 – Оцінка ризику маршруту при плануванні місії

```
const riskScore = await fetch('/api/ai/route-risk', {
  method: 'POST',
  body: JSON.stringify({ route, weather, dangerZones }),
});
```

У системі йде активне використання комп'ютерного зору для розпізнавання перешкод. На сервері працює модель, яка аналізує зображення з камери та визначає наявність об'єктів на шляху. Для цього використовується попередньо навчена модель, яка повертає тип об'єкта та координати. Приклад обробки результату наведено у лістингу 4.22.

Лістинг 4.22 – Обробка результату розпізнавання об'єктів

```
if (visionResult.object === 'obstacle' &&
visionResult.confidence > 0.8) {
triggerAvoidanceManeuver();
}
```

Інтеграція таких модулів у систему дозволяє дрону частково самостійно приймати рішення під час виконання місії, зменшуючи навантаження на оператора.

Ще один приклад застосування елементів ШІ – автоматичне виявлення аномалій у телеметрії дрона. На сервері реалізовано простий скрипт, який аналізує потік даних і визначає відхилення від типових значень (наприклад, різке падіння заряду, перегрів, нетипова траєкторія руху). Якщо виявлено аномалію, система автоматично формує сповіщення для оператора. Фрагмент такої перевірки наведено у лістингу 4.23.

Лістинг 4.23 – Виявлення аномалій у телеметрії

```
if (batteryLevel < 15 || temperature > 70 ||
isTrajectoryAbnormal(currentRoute)) {
sendAlert('Аномалія у роботі дрона');
}
```

Для підвищення точності таких перевірок підключено просту модель машинного навчання, яка навчається на історичних даних і автоматично оновлює порогові значення для кожного дрона окремо.

Ще одна реалізована технічна можливість – використання ШІ для прогнозування часу виконання місії. На основі даних про попередні місії, погодні умови та завантаженість маршруту система оцінює, скільки часу займе доставка. Це допомагає оператору краще планувати ресурси. Приклад запиту до такого модуля наведено у лістингу 4.24.

Лістинг 4.24 – Прогнозування часу виконання місії

```
const eta = await fetch('/api/ai/mission-eta', {
  method: 'POST',
  body: JSON.stringify({ route, weather, payload }),
});
```

Усі ці функції інтегровані у серверну частину системи через окремі API-ендпоінти. Клієнтський інтерфейс отримує результати у вигляді сповіщень, підказок або автоматичних оновлень статусу місії. Такий підхід дозволяє поступово розширювати можливості ШІ без суттєвих змін у загальній архітектурі.

Для реалізації функції автоматичного розпізнавання об'єктів у системі використовується модель YOLOv5 (рисунок 4.18). Дана модель належить до класу згорткових нейронних мереж типу one-stage детекторів, що дозволяє здійснювати детекцію об'єктів у реальному часі з високою точністю. Назва моделі: YOLOv5s (small).

Основні параметри:

- кількість шарів: 224;
- кількість параметрів: приблизно 7,2 млн;
- вхідне зображення: 640×640 пікселів;
- кількість класів: 3 (людина, транспортний засіб, перешкода).

Приклад базової структури такого модуля наведено у лістингу 4.25.

Лістинг 4.25 – Модуль машинного навчання для оптимізації маршрутів

```
class RouteOptimizer {  
  constructor() {  
    this.model = tf.sequential({  
      layers: [  
        tf.layers.dense({inputShape: [6], units: 10,  
activation: 'relu'}),  
        tf.layers.dense({units: 1, activation: 'sigmoid'})  
      ]  
    });  
  }  
  
  async predictRouteSuccess(weather, distance, payload,  
timeOfDay) {  
    const prediction =  
this.model.predict(tf.tensor2d([[weather, distance,  
payload, timeOfDay, 0, 0]]));  
    return prediction.dataSync()[0];  } }  
}
```

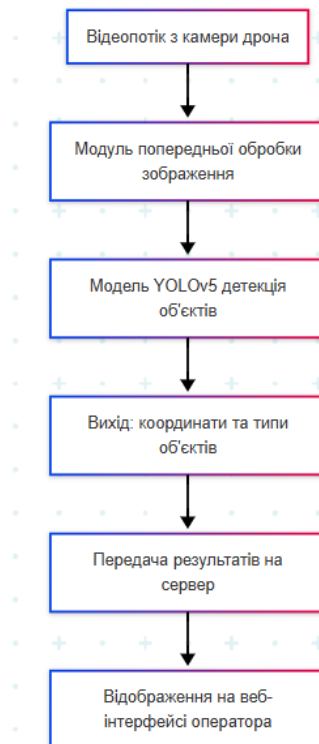


Рисунок 4.18 – Блок-схема процесу розпізнавання об'єктів на борту дрона

Модель була попередньо навчена на відкритих датасетах COCO та VisDrone, які містять зображення людей, транспортних засобів та різноманітних перешкод у міських і польових умовах. Для підвищення точності розпізнавання у військових сценаріях, модель була донавчена (fine-tuned) на спеціально зібраній вибірці з анотаціями, що відображають типові об'єкти та ситуації на полі бою.

Для прогнозування технічного стану реалізовано базову систему, яка аналізує тренди у телеметрії та попереджає про можливі проблеми. Така система працює у фоновому режимі і періодично перевіряє ключові показники. Код такої перевірки показано у лістингу 4.26.

Лістинг 4.26 – Прогнозування технічних проблем дрона

```
function predictMaintenanceNeeds(telemetryHistory) {
  const batteryTrend =
    calculateTrend(telemetryHistory.map(t => t.batteryLevel));
  const tempTrend = calculateTrend(telemetryHistory.map(t
=> t.temperature));

  if (batteryTrend < -0.5 || tempTrend > 0.3) {
    return { needsMaintenance: true, priority: 'high',
reason: 'Degrading performance' };
  }
  return { needsMaintenance: false };
}
```

Для комп'ютерного зору було розроблено модель розпізнавання об'єктів через API. Дрон надсилає зображення на сервер, отримує результат і приймає рішення про подальші дії. Приклад такої інтеграції наведено у лістингу 4.27.

Лістинг 4.27 – Інтеграція комп'ютерного зору для розпізнавання об'єктів

```
async function analyzeImage(imageData) {
  const response = await fetch('/api/vision/detect', {
    method: 'POST',
```

Продовження лістингу 4.27

```

    body: JSON.stringify({ image: imageData }),
  });

  const result = await response.json();
  if (result.objects.some(obj => obj.type === 'obstacle'
  && obj.confidence > 0.8)) {
    await executeAvoidanceManeuver();
  }
}

```

Для автоматичного аналізу ефективності місій створено модуль, який збирає статистику та формує рекомендації. Такий модуль працює після завершення кожної місії і оновлює базу знань системи. Код аналізу ефективності показано у лістингу 4.28.

Лістинг 4.28 – Аналіз ефективності виконаних місій

```

function analyzeMissionEfficiency(missionData) {
  const efficiency = {
    timeRatio: missionData.actualTime /
missionData.plannedTime,
    batteryUsage: missionData.batteryConsumed /
missionData.distance,
    successRate: missionData.completed ? 1 : 0
  };

  updateLearningDatabase(efficiency);
  return generateRecommendations(efficiency);
}

```

Усі ці модулі працюють як окремі мікросервіси, які викликаються через REST API з основної системи. Це дозволяє легко тестувати, оновлювати та масштабувати ШІ-функціонал незалежно від основного коду. Навчання здійснювалося з використанням фреймворку PyTorch, оптимізатору Adam, початкового learning rate 0.001, batch size 16, протягом

100 епох. Для контролю якості використовувалися метрики precision, recall та mAP (mean Average Precision).

Таким чином, поточна версія системи є гнучкою платформою, на яку в майбутньому можна «нарощувати м'язи» – додавати нові інтелектуальні модулі, поступово підвищуючи рівень автономності та ефективності роботи дронів у бойових умовах.

ВИСНОВКИ

За результатами дослідження встановлено, що логістичне забезпечення у бойових умовах є критичним фактором успіху військових операцій. Визначено, що висока небезпека для особового складу при доставці вантажів на передову через активні бойові дії, мінування та повітряні атаки обґрунтовує необхідність розробки автономних систем доставки.

Запропонована система Smart Military Drone-Courier представляє собою наземного робота-кур'єра з інтегрованим штучним інтелектом для автономної навігації в режимі реального часу. Актуальність розробки підтверджується високим рівнем втрат особового складу під час логістичних операцій, потребою швидкого постачання критичних вантажів та складнощами доступу до віддалених чи оточених підрозділів.

Основним завданням проекту стала розробка інтуїтивно зрозумілого інтерфейсу користувача, адаптованого до військових умов, який забезпечує комплексне відображення інформації та ефективне управління місіями з інтеграцією AI-навігації.

Встановлено, що сучасні технології штучного інтелекту та комп'ютерного зору дозволяють реалізувати автономну навігацію в складних умовах бездоріжжя, а їх інтеграція з інтуїтивним інтерфейсом створює синергетичний ефект, підвищуючи загальну ефективність системи.

Особливу увагу приділено розробці інформаційної графіки для візуалізації складних даних, що забезпечує швидке сприйняття інформації та прийняття рішень оператором.

У рамках кваліфікаційної роботи проведено аналіз предметної галузі досліджено існуючі рішення, визначено ключові вимоги та розроблено концептуальні прототипи основних екранів системи Smart Military Drone-Courier. Розроблена система є MVP-продуктом, що демонструє базову функціональність автономної доставки вантажів у бойових умовах.

Перспективи впровадження включають масштабування системи для роботи з групами дронів, інтеграцію з іншими військовими інформаційними платформами та подальший розвиток алгоритмів автономної навігації й безпеки. Запропоноване рішення може стати основою для створення повноцінної платформи автоматизованої логістики на полі бою.

ПЕРЕЛІК ДЖЕРЕЛ ПОСИЛАННЯ

1. Marta Кеpe: Logistics and sustainment in the russian armed forces. Santa Monica: Cal.: The RAND Corporation (Research Report), November 2023. *SIRIUS – Zeitschrift für Strategische Analysen*. 2024. Vol. 8, no. 1. P. 95–96. URL: <https://doi.org/10.1515/sirius-2024-1014> (date of access: 19.05.2025).
2. Slusher M. Lessons from the Ukraine Conflict: Modern Warfare in the Age of Autonomy, Information, and Resilience. URL: <https://www.csis.org/analysis/lessons-ukraine-conflict-modern-warfare-age-autonomy-information-and-resilience> (date of access: 19.05.2025).
3. Harabor D., Grastien A. Online graph pruning for pathfinding on grid maps. *Proceedings of the AAAI conference on artificial intelligence*. 2011. Vol. 25, no. 1. P. 1114–1119. URL: <https://doi.org/10.1609/aaai.v25i1.7994> (date of access: 23.04.2025).
4. Bopardikar S. D., Bullo F., Hespanha J. P. On discrete-time pursuit-evasion games with sensing limitations. *IEEE transactions on robotics*. 2008. Vol. 24, no. 6. P. 1429–1439. URL: <https://doi.org/10.1109/tro.2008.2006721> (date of access: 23.04.2025).
5. A*3D dataset: towards autonomous driving in challenging environments / Q.-H. Pham et al. 2020 *IEEE international conference on robotics and automation (ICRA)*, Paris, France, 31 May – 31 August 2020. 2020. URL: <https://doi.org/10.1109/icra40945.2020.9197385> (date of access: 23.04.2025).
6. Chen J. Y. C., Barnes M. J., Harper-Sciarini M. Supervisory control of multiple robots: human-performance issues and user-interface design. *IEEE transactions on systems, man, and cybernetics, part C (applications and reviews)*. 2011. Vol. 41, no. 4. P. 435–454. URL: <https://doi.org/10.1109/tsmcc.2010.2056682> (date of access: 23.04.2025).
7. Cognitive reliability and error analysis method (CREAM). Elsevier, 1998. URL: <https://doi.org/10.1016/b978-0-08-042848-2.x5000-3> (date of access: 23.04.2025).

8. Control room layout. *Human factors in the design and evaluation of central control room operations*. 2009. P. 249–271. URL: <https://doi.org/10.1201/9781439809921-c10> (date of access: 23.04.2025).
9. Engineering psychology and human performance / J. G. Hollands et al. Taylor & Francis Group, 2015. 544 p.
10. Fundamental dimensions of subjective state in performance settings: task engagement, distress, and worry. / G. Matthews et al. *Emotion*. 2002. Vol. 2, no. 4. P. 315–340. URL: <https://doi.org/10.1037/1528-3542.2.4.315> (date of access: 23.04.2025).
11. LVI-SAM: tightly-coupled lidar-visual-inertial odometry via smoothing and mapping / T. Shan et al. *2021 IEEE international conference on robotics and automation (ICRA)*, Xi'an, China, 30 May – 5 June 2021. 2021. URL: <https://doi.org/10.1109/icra48506.2021.9561996> (date of access: 26.05.2025).
12. Parasuraman R., Riley V. Humans and automation: use, misuse, disuse, abuse. *Human factors: the journal of the human factors and ergonomics society*. 1997. Vol. 39, no. 2. P. 230–253. URL: <https://doi.org/10.1518/001872097778543886> (date of access: 23.04.2025).
13. Radziwill N. M. Designing for situation awareness: an approach to user-centered design, second edition. *Quality management journal*. 2017. Vol. 24, no. 2. P. 56. URL: <https://doi.org/10.1080/10686967.2017.11918512> (date of access: 23.04.2025).
14. Schultz A. C., Goodrich M. A. Human-Robot interaction: a survey. Now Publishers, 2008. 84 p.
15. Waller M. A., Fawcett S. E. Data science, predictive analytics, and big data: a revolution that will transform supply chain design and management. *Journal of business logistics*. 2013. Vol. 34, no. 2. P. 77–84. URL: <https://doi.org/10.1111/jbl.12010> (date of access: 23.04.2025).

ДОДАТОК А

Лістинг програми

Лістинг 4.14 – Компонент сканування сітчатки ока

```

const RetinaScanner = ({ onScan }) => {
  const [scanning, setScanning] = useState(false);
  const [calibrating, setCalibrating] = useState(false);
  const videoRef = useRef(null);
  const canvasRef = useRef(null);

  const startRetinaScan = async () => {
    setCalibrating(true);
    try {
      const stream = await
navigator.mediaDevices.getUserMedia({
  video: {
    width: { ideal: 1280 },
    height: { ideal: 720 },
    frameRate: { ideal: 30 }
  }
});

      videoRef.current.srcObject = stream;
      videoRef.current.play();

      // Калібрування камери
      setTimeout(() => {
        setCalibrating(false);
        setScanning(true);
        performRetinaScan();
      }, 2000);

    } catch (error) {
      setCalibrating(false);
      showError("Помилка доступу до камери: " +
error.message);
    }
  };

  const performRetinaScan = () => {
    const canvas = canvasRef.current;
    const ctx = canvas.getContext('2d');
    const video = videoRef.current;

    // Захоплення кадру
    ctx.drawImage(video, 0, 0, canvas.width,
canvas.height);
    const imageData = ctx.getImageData(0, 0, canvas.width,
canvas.height);
  };
}

```

```

// Симуляція обробки сітчатки
setTimeout(() => {
  const retinaPattern =
processRetinaImage(imageData);
  const confidence =
calculateRetinaConfidence(retinaPattern);

  setScanning(false);
  video.srcObject.getTracks().forEach(track =>
track.stop());

  if (confidence > 0.98) {
    onScan({
      pattern: retinaPattern,
      confidence: confidence,
      timestamp: new Date(),
      quality: "HIGH"
    });
  } else {
    showError("Низька якість сканування сітчатки.
Спробуйте ще раз.");
  }
}, 4000);
};

const processRetinaImage = (imageData) => {
  // Симуляція обробки патерну сітчатки
  const pattern = [];
  for (let i = 0; i < imageData.data.length; i += 1000) {
    pattern.push(imageData.data[i]);
  }
  return pattern.join('');
};

const calculateRetinaConfidence = (pattern) => {
  // Симуляція розрахунку точності
  return 0.985 + Math.random() * 0.01;
};

return (
  <div className="text-center space-y-4">
    <h3 className="text-lg font-medium">Сканування
сітчатки ока</h3>

    <div className="relative">
      <video
        ref={videoRef}
        className="w-full max-w-sm rounded-lg"
        autoPlay
        muted
      />
      <canvas
        ref={canvasRef}

```

```

        className="hidden"
        width="640"
        height="480"
    />

    {calibrating && (
        <div className="absolute inset-0 bg-black
bg-opacity-50 flex items-center justify-center rounded-lg">
            <div className="text-
white">Калібрування камери...</div>
        </div>
    )}

    {scanning && (
        <div className="absolute inset-0 border-4
border-red-500 rounded-lg animate-pulse">
            <div className="absolute inset-4
border-2 border-red-300 rounded-lg">
                <div className="absolute top-1/2
left-1/2 transform -translate-x-1/2 -translate-y-1/2 w-8 h-8
border-2 border-red-500 rounded-full"></div>
            </div>
        </div>
    )}
</div>

<p className="text-sm text-gray-400">
    {calibrating ? "Калібрування..." :
    scanning ? "Сканування сітчатки... Дивіться в
центр кола" :
    "Натисніть кнопку для початку сканування"}
</p>

<button
    onClick={startRetinaScan}
    disabled={calibrating || scanning}
    className="bg-danger text-white px-6 py-2
rounded-lg disabled:opacity-50"
    >
        {calibrating || scanning ? "Обробка..." :
"Почати сканування"}
    </button>
</div>
);
};

```

Лістинг 4.15 – Функції валідації автентифікаційних даних

```

const validateMilitaryID = async (idData) => { try { const
encryptedData = await encryptSensitiveData(idData); const
response = await fetch('/api/auth/validate-military-id', {

```

```

method: 'POST', headers: { 'Content-Type': 'application/json',
  'X-API-Key': process.env.REACT_APP_API_KEY, 'X-Request-
  Signature': generateRequestSignature(encryptedData) }, body:
  JSON.stringify(encryptedData) });

  const result = await response.json();

  // Перевірка рівня допуску
  const validClearanceLevels = ['CONFIDENTIAL', 'SECRET',
  'TOP_SECRET'];
  const hasValidClearance =
  validClearanceLevels.includes(result.clearanceLevel);

  return {
    valid: result.valid && hasValidClearance,
    clearanceLevel: result.clearanceLevel,
    expiryDate: result.expiryDate,
    unit: result.unit
  };
} catch (error) {
  SecurityLogger.error('Military ID validation failed',
  error);
  return { valid: false, error: "Помилка валідації
  посвідчення" };
}

};

const validateBiometric = async (bioData, militaryID) => {
  try { const payload = { fingerprint: await
  hashBiometricData(bioData.fingerprint), faceRecognition: await
  hashBiometricData(bioData.faceRecognition), militaryID:
  militaryID.id, timestamp: bioData.timestamp };

  const response = await fetch('/api/auth/validate-biometric',
  {
    method: 'POST',
    headers: {
      'Content-Type': 'application/json',
      'Authorization': `Bearer ${getTemporaryToken()}`
    },
    body: JSON.stringify(payload)
  });

  const result = await response.json();

  return {
    match: result.match && result.confidence > 0.95,
    confidence: result.confidence,
    timestamp: new Date()
  };
} catch (error) {

```

```

    SecurityLogger.error('Biometric validation failed', error);
    return { match: false, error: "Помилка біометричної
валідації" };
}
};

```

Лістинг 4.12 – Компонент сканування військового посвідчення

```

const MilitaryIDScanner = ({ onScan }) => {
  const [scanning, setScanning] = useState(false);
  const [scanProgress, setScanProgress] = useState(0);
  const [nfcSupported, setNfcSupported] = useState(false);

  useEffect(() => {
    // Перевірка підтримки NFC
    if ('NDEFReader' in window) {
      setNfcSupported(true);
    }
  }, []);

  const startNFCScan = async () => {
    if (!nfcSupported) {
      showError("NFC не підтримується цим пристроєм");
      return;
    }

    try {
      const ndef = new NDEFReader();
      await ndef.scan();

      ndef.addEventListener("reading", ({ message }) => {
        const record = message.records[0];
        const decoder = new
TextDecoder(record.encoding);
        const data =
JSON.parse(decoder.decode(record.data));

        if (validateIDStructure(data)) {
          onScan(data);
        } else {
          showError("Невалідна структура
посвідчення");
        }
      });
    } catch (error) {
      showError("Помилка NFC сканування: " +
error.message);
    }
  };

  const validateIDStructure = (data) => {
    const requiredFields = ['id', 'rank', 'name', 'unit',
'clearanceLevel', 'expiryDate'];

```

```

        return      requiredFields.every(field      =>
data.hasOwnProperty(field));
    };

    return (
        <div className="text-center">
            <div className="border-2 border-dashed border-
primary rounded-lg p-8 mb-4">
                <div className="text-4xl mb-4">□</div>
                <p className="text-gray-400 mb-4">
                    Відскануйте військове посвідчення
                </p>
                <p className="text-sm text-gray-500">
                    {nfcSupported ? "Піднесіть посвідчення до
зчитувача NFC" : "Розташуйте посвідчення в рамці для оптичного
сканування"}
                </p>
            </div>

            <button
                onClick={nfcSupported      ?      startNFCScan      :
startOpticalScan}
                disabled={scanning}
                className="bg-primary text-white px-6 py-2
rounded-lg disabled:opacity-50"
            >
                {scanning ? "Сканування..." : (nfcSupported ?
"Сканувати NFC" : "Сканувати візуально")}
            </button>
        </div>
    );
};

```

Лістинг 4.11 – Структура компонента багаторівневої автентифікації

```

import { useState, useRef } from 'react'; import {
MilitaryIDScanner } from '../components/MilitaryIDScanner';
import { BiometricScanner } from
'../components/BiometricScanner'; import { RetinaScanner }
from '../components/RetinaScanner'; import { SecurityLogger }
from '../utils/SecurityLogger';

const AuthenticationFlow = () => { const [currentStep,
setCurrentStep] = useState(1); const [authData, setAuthData] =
useState({ militaryID: null, biometric: null, retina: null,
credentials: null }); const [attemptCount, setAttemptCount] =
useState(0); const [isBlocked, setIsBlocked] =
useState(false);const handleMilitaryIDScan = async (idData) =>
{
    SecurityLogger.log('MILITARY_ID_SCAN_ATTEMPT', idData.id);

    if (await validateMilitaryID(idData)) {

```

```

        setAuthData(prev => ({ ...prev, militaryID: idData
    }));
        setCurrentStep(2);
        SecurityLogger.log('MILITARY_ID_SCAN_SUCCESS',
    idData.id);
        } else {
            handleAuthenticationFailure("Недійсне військове
    посвідчення");
        }
    };

    const handleAuthenticationFailure = (errorMessage) => {
        setAttemptCount(prev => prev + 1);
        if (attemptCount >= 2) {
            setIsBlocked(true);
            SecurityLogger.log('ACCOUNT_BLOCKED',
    authData.militaryID?.id);
        }
        showError(errorMessage);
    };

    return (
        <div className="min-h-screen bg-background flex items-
    center justify-center">
            <div className="bg-secondary p-8 rounded-lg max-w-md
    w-full">
                <h2 className="text-2xl font-bold mb-6 text-
    center">
                    Автентифікація військового персоналу
                </h2>

                {isBlocked ? (
                    <BlockedScreen />
                ) : (
                    <>
                        {currentStep === 1 && <MilitaryIDScanner
    onScan={handleMilitaryIDScan} />}
                        {currentStep === 2 && <BiometricScanner
    onScan={handleBiometricScan} />}
                        {currentStep === 3 && <RetinaScanner
    onScan={handleRetinaScan} />}
                        {currentStep === 4 && <CredentialsForm
    onSubmit={handleLogin} />}
                    </>
                )}
            </div>
        </div>
    );
};

```

Лістинг 4.8 – Структура компонента навігації Layout

```

import { Link, useLocation } from 'react-router-dom';
import { MapIcon, RobotsIcon, MissionsIcon, MonitoringIcon,
LogoIcon } from './NavIcons';

function Layout({ children, onLogout }) {
  const location = useLocation();

  const menuItems = [
    { path: '/', icon: <MapIcon />, title: 'Карта операцій'
},
    { path: '/robots', icon: <RobotsIcon />, title: 'Статус
роботів-кур\`ерів' },
    { path: '/missions', icon: <MissionsIcon />, title:
'Активні місії' },
    { path: '/monitoring', icon: <MonitoringIcon />, title:
'Моніторинг показників' }
  ];

  const isActive = (path) => location.pathname === path;

  return (
    <div className="flex h-screen bg-background">
      <div className="w-16 bg-secondary flex flex-col
items-center py-4 border-r border-gray-800">
        <div className="mb-8 text-primary">
          <LogoIcon />
        </div>
        <div className="flex flex-col space-y-6">
          {menuItems.map((item) => (
            <Link
              key={item.path}
              to={item.path}
              title={item.title}
              className={`w-10 h-10 flex items-
center justify-center rounded-md ${
                isActive(item.path)
                  ? 'bg-primary text-white'
                  : 'bg-transparent text-
gray-400 hover:bg-gray-700 hover:text-white'
              } transition-colors`}
            >
              {item.icon}
            </Link>
          ))}
        </div>
      </div>
      <div className="flex-1 overflow-auto">
        {children}
      </div>
    </div>
  );
}

```

}

Лістинг 4.6 – Основна структура компонента управління місіями

```

import { useState } from 'react';
import Layout from '../components/Layout';

const MissionCard = ({
  id, title, status, priority, robot, route, startTime,
  endTime, progress, cargoType, cargoWeight
}) => {
  // Визначення кольору для пріоритету
  const getPriorityColor = () => {
    switch (priority) {
      case 'high': return 'text-danger';
      case 'medium': return 'text-warning';
      case 'low': return 'text-success';
      default: return 'text-white';
    }
  };

  return (
    <div className="bg-secondary rounded-md p-4 border
border-gray-700 mb-4">
      <div className="flex justify-between items-center">
        <div>
          <h3 className="text-lg font-
bold">{title}</h3>
          <div className={`text-sm
${getPriorityColor()}`} >Пріоритет: {priority}</div>
          <div className="text-gray-400 text-
sm">Статус: {status}</div>
        </div>
        <div>
          <span className="text-gray-400 text-
sm">Виконавець: {robot}</span>
        </div>
      </div>
      <div className="mt-2 text-sm">
        <div>Маршрут: {route.map(coord =>
`${coord[0]}, ${coord[1]}`).join(' →')}</div>
        <div>Вантаж: {cargoType} ({cargoWeight}
кг)</div>
        <div>Початок: {startTime} | Завершення:
{endTime}</div>
        <div>Прогрес: {progress}%</div>
      </div>
    </div>
  );
};

function Missions() {
  const [missions, setMissions] = useState([
    {

```

```

        id: "ms-001",
        title: "Доставка медикаментів",
        status: "active",
        priority: "high",
        robot: "Robot-01",
        route: [
            [50.45, 30.52],
            [50.46, 30.54],
            [50.47, 30.56]
        ],
        startTime: "13:00",
        endTime: "13:45",
        progress: 60,
        cargoType: "Медикаменти",
        cargoWeight: 2.5
    }
    // ...інші місії
]);

return (
    <Layout>
        <div className="p-6">
            <h2 className="text-2xl font-bold mb-4">Список
місій</h2>
            {missions.map(mission => (
                <MissionCard key={mission.id} {...mission}
/>
            ))}
        </div>
    </Layout>
);
}

```